

偏極軽重イオン直接反応

岡村弘之
大阪大学核物理研究センター

- ✓ $(d, {}^2\text{He})$ @理研 ... 0^- , spin-dipole
 - ✓ $({}^6\text{Li}, {}^6\text{He})$ @RCNP ・ 偏極 ${}^6\text{Li}$ 計画
 - ✓ $({}^3\text{He}, t)$ の状況 ・ (p, n) との対比
- 複合粒子反応による精密核分光研究に向けて

Classification of nuclear direct reactions

➤ Nucleon reaction (at intermediate energies)

(p,p') (p,n) (n,p)

- smallest distortion (σ_{NN} minimum @ ~ 300 MeV)
- exact treatment of single-nucleon knockon exchange (SNKE)
- well-studied effective interaction (medium effect), ρ -dependence
- extensively studied using *polarized* beams
- but *low selectivity*

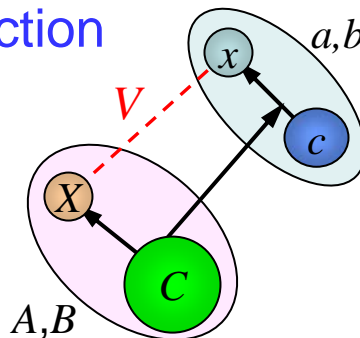
➤ Light heavy-ion reaction

$(^3\text{He},t)$, $(d,^2\text{He})$, (d,d') , (α,α') , $(^6\text{Li},^6\text{He})$, $(^7\text{Li},^7\text{Be})$, ...

- high selectivity
- possible use of (tensor) polarized beams
- characteristic wave func. (not by shell model)
- C.C. with breakup channels
- sequential process ? (at lower energies)
- not extensively studied at intermediate energies, although *theoretical tools are well prepared !*

➤ Heavy-ion reaction

^{12}C , ^{16}O , ...



- high selectivity
- proj.-target *symmetric* treatment w/ *shell model*
- small recoil effect
- C.C. with *bound* excited-states
- but complicated spectrum

$(d, {}^2\text{He})$ reaction

${}^2\text{He} = p\text{-}p$ in 1S_0

measured by coin. detection of $p\text{-}p$ with small relative energies
 $p\text{-}p$ FSI enhances 1S_0 amplitude (purity? → next slide)

- ✓ (n,p) -type charge-exchange reaction ($\Delta T=1, \Delta T_z=+1$)
with spin-transfer ($\Delta S=1$; because $d[1^+] \rightarrow {}^2\text{He}[0^+]$)
- ✓ involves only charged particles (primary beam)
→ relatively high-efficiency & resolution

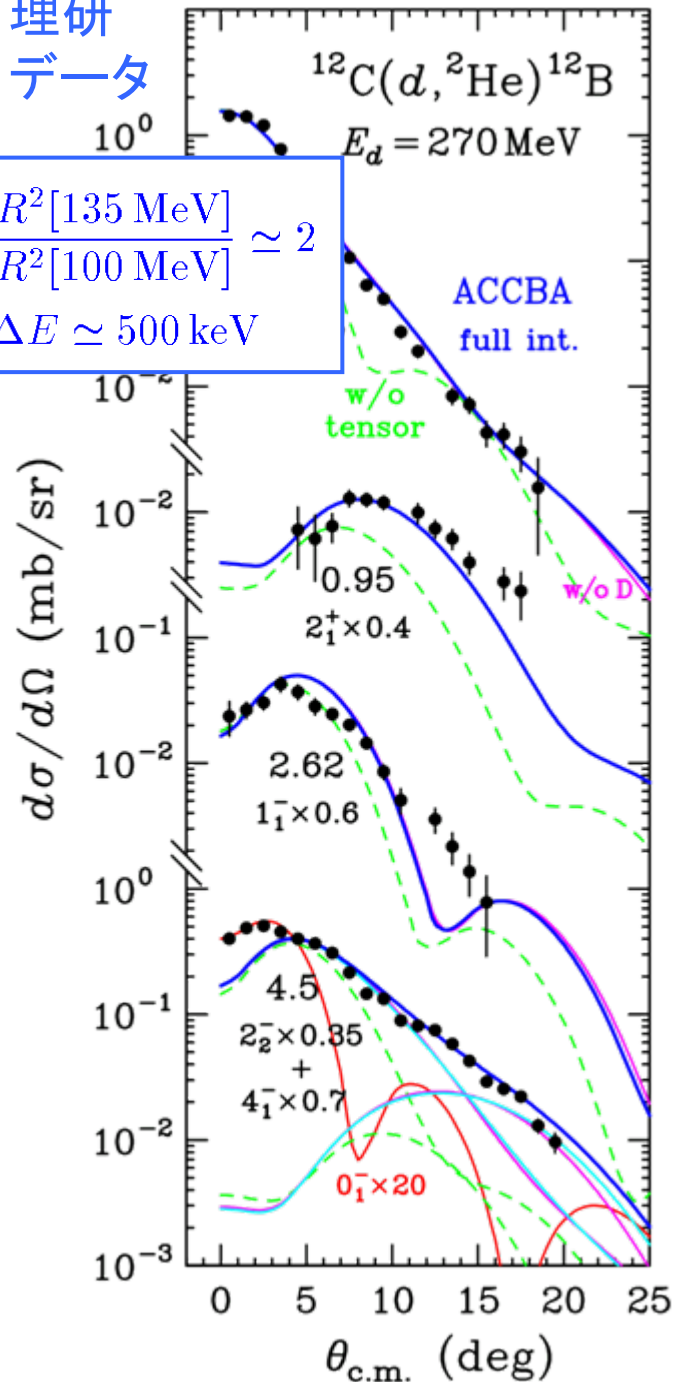
Suitable to extract β_+ -strength by $d\sigma/d\Omega[q\sim 0] \propto F(q,\omega) B(\text{GT})$
and study of spin-flip dipole states by tensor-pol. obs.,
for (more) *neutron-rich residuals*, in particular.

At intermediate energies:

SATURNE (300 MeV/A), RIKEN (135 MeV/A), Texas A&M (64 MeV/A)
RCNP (100 MeV/A), and most extensively KVI (85 MeV/A)

$$\frac{R^2[135 \text{ MeV}]}{R^2[100 \text{ MeV}]} \simeq 2$$

$\Delta E \simeq 500 \text{ keV}$



- ✓ Data are reasonably well described by 1-step Born approximation
- ✓ Norm. consts. are consistent with those of (p,n) reactions

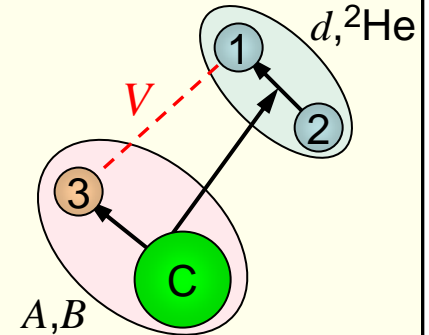
Adiabatic Coupled-Channels

Born Approx. (ACCBA)

H.Okamura, PRC 60 ('99) 064602

$A(d, ^2\text{He})B$ reaction

$$T = \langle \Psi_{ppB} | V_{13} | \Phi_d \chi_{dA} \rangle$$



Ψ_{ppB} 3-body wave func. is solved by C.C. [1S - 1D] with adiabatic approx. Charge-exchange transition is treated in Born approx. SKNE by short-range aprox. (central)

Simple projectile form-factor
— advantage over other composite projs.

($d, {}^2\text{He}$) extensively used @ **KVI**, $E_d = 85 \text{ MeV/A}$ ($\Delta E \sim 150 \text{ keV}$)

$$\frac{d\sigma}{d\Omega} = \hat{\sigma}_{\text{GT}} F(q, \omega) B(\text{GT})$$

Exp.

ACCBA

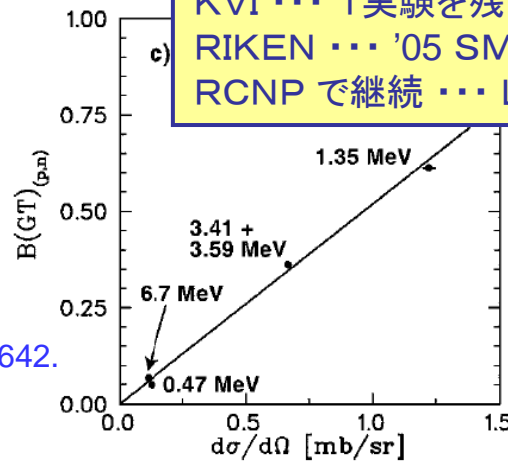
H.Okamura
PRC 60(1999)060642.

for studies of

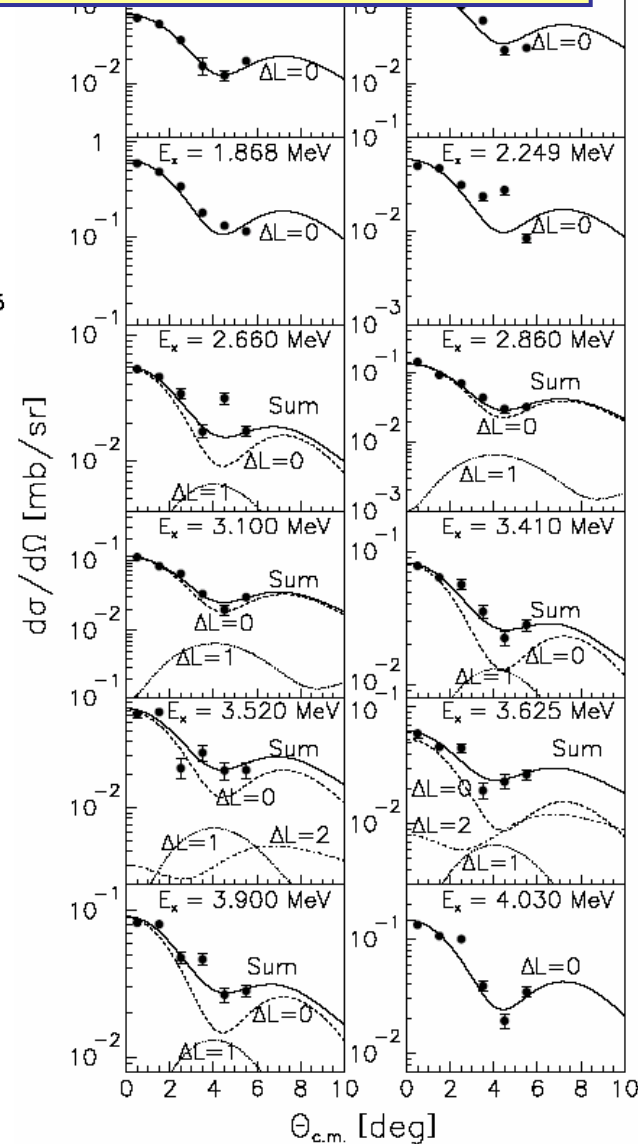
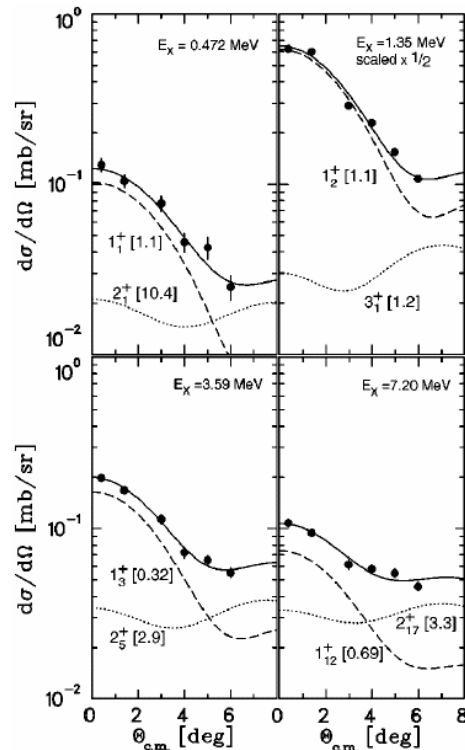
- $\beta\beta$ -decay matrix elements
- astrophysical interest

${}^7\text{Li}$	PLB 639 (2006) 623
${}^{14}\text{N}$	PRL 97 (2006) 062502
${}^{24}\text{Mg}$	PRC 65 (2002) 044323
${}^{32}\text{S}$	PRC 69 (2004) 064325
${}^{48}\text{Ca}$	PRC 70 (2004) 054302
${}^{50}\text{V}$	PRC 71 (2005) 024603
${}^{51}\text{V}$	PRC 68 (2003) 031303
${}^{58}\text{Ni}$	PRC 71 (2005) 014606
${}^{116}\text{Sn}$	PRC 71 (2005) 054313

citing ACCBA



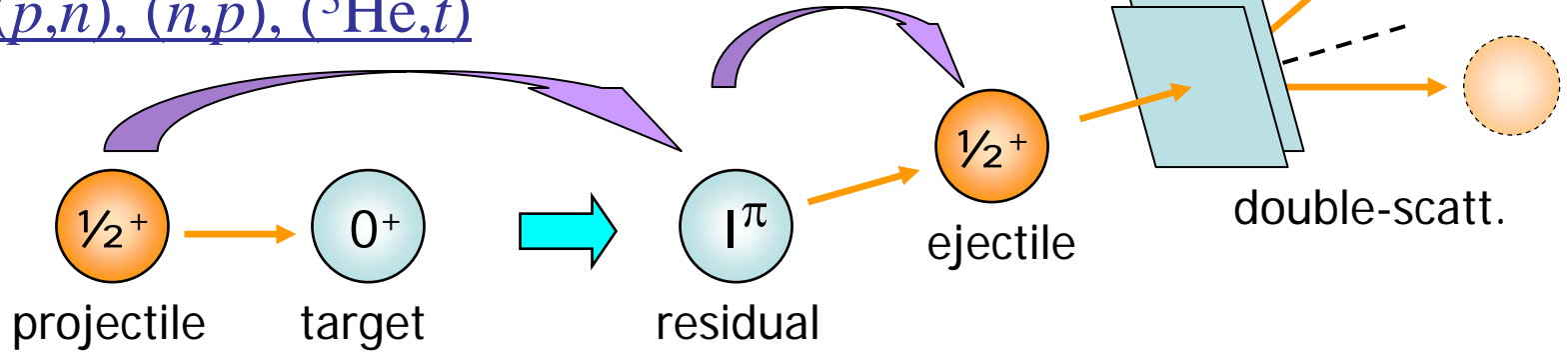
KVI ... 1実験を残して核物理プログラム終了
RIKEN ... '05 SMART シャットダウン (→ fRC)
RCNP で継続 ... LAS 高分解能化進行中 (w/ 野呂G)



スピン励起観測量

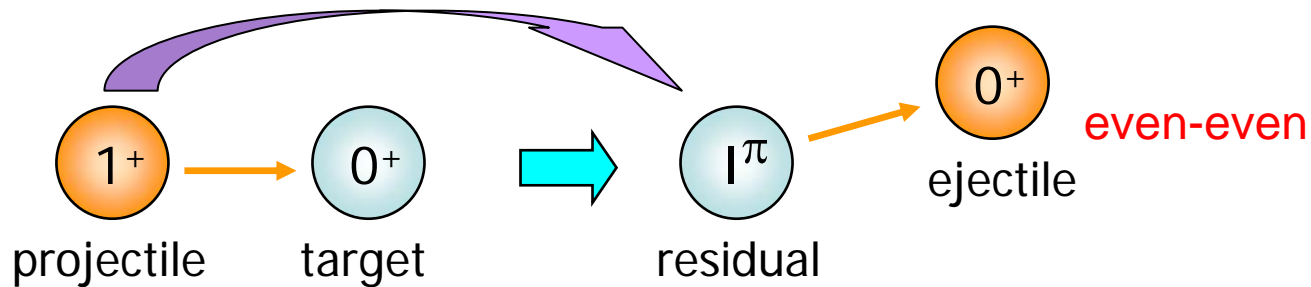
— 核子散乱 vs. スピン1粒子反応 —

$(p,p'), (p,n), (n,p), ({}^3\text{He},t)$



残留核 $1^\pi \Leftrightarrow$ 入射-出射粒子スピン状態変化
観測量は偏極移行... 二回散乱(測定困難)

$(d, {}^2\text{He}), ({}^6\text{Li}, {}^6\text{He})$



odd-odd

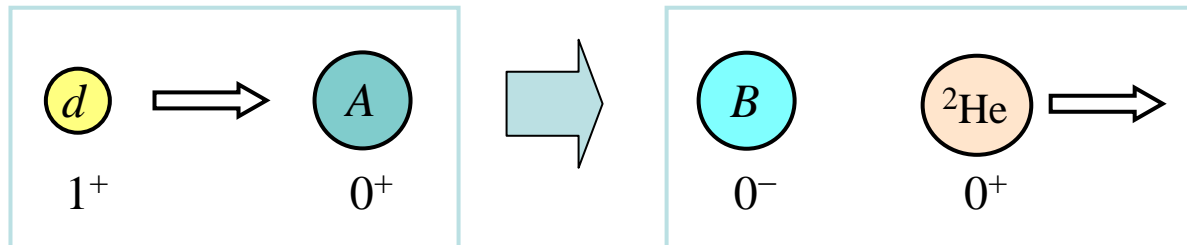
残留核 $1^\pi \Leftrightarrow$ 入射粒子スピン状態
観測量は偏極分解能... 測定容易

only 4 stable nuclei

${}^2\text{H}, {}^6\text{Li}, ({}^{10}\text{B},) {}^{14}\text{N}$

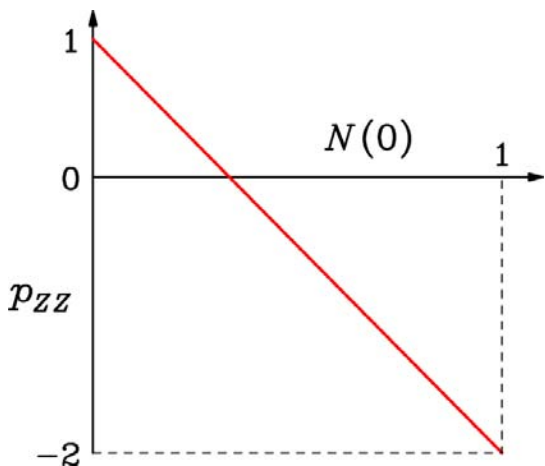
テンソル偏極ビームを用いた ($d, ^2\text{He}$) 反応による 0^- 励起

$A(d, ^2\text{He})B(0^-)$
at $\theta=0^\circ$



$m=0$ ($p_{ZZ} = -2$) のとき反応は起こり
 $m \neq 0$ ($p_{ZZ} = +1$) ならば反応は起こらない

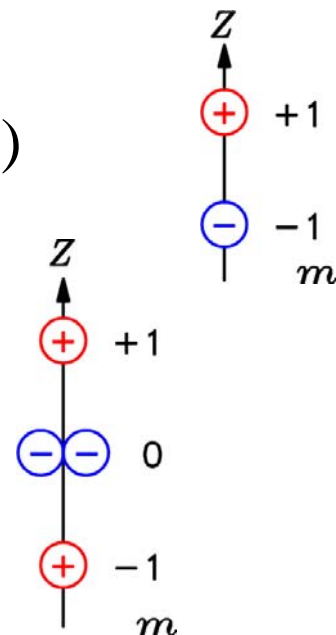
断面積の p_{ZZ} 依存性 $\Leftrightarrow 0^-$ 励起のサイン
 i.e. テンソル偏極分解能 A_{ZZ}



$$p_Z = \sum_m N(m) = N(+1) - N(-1)$$

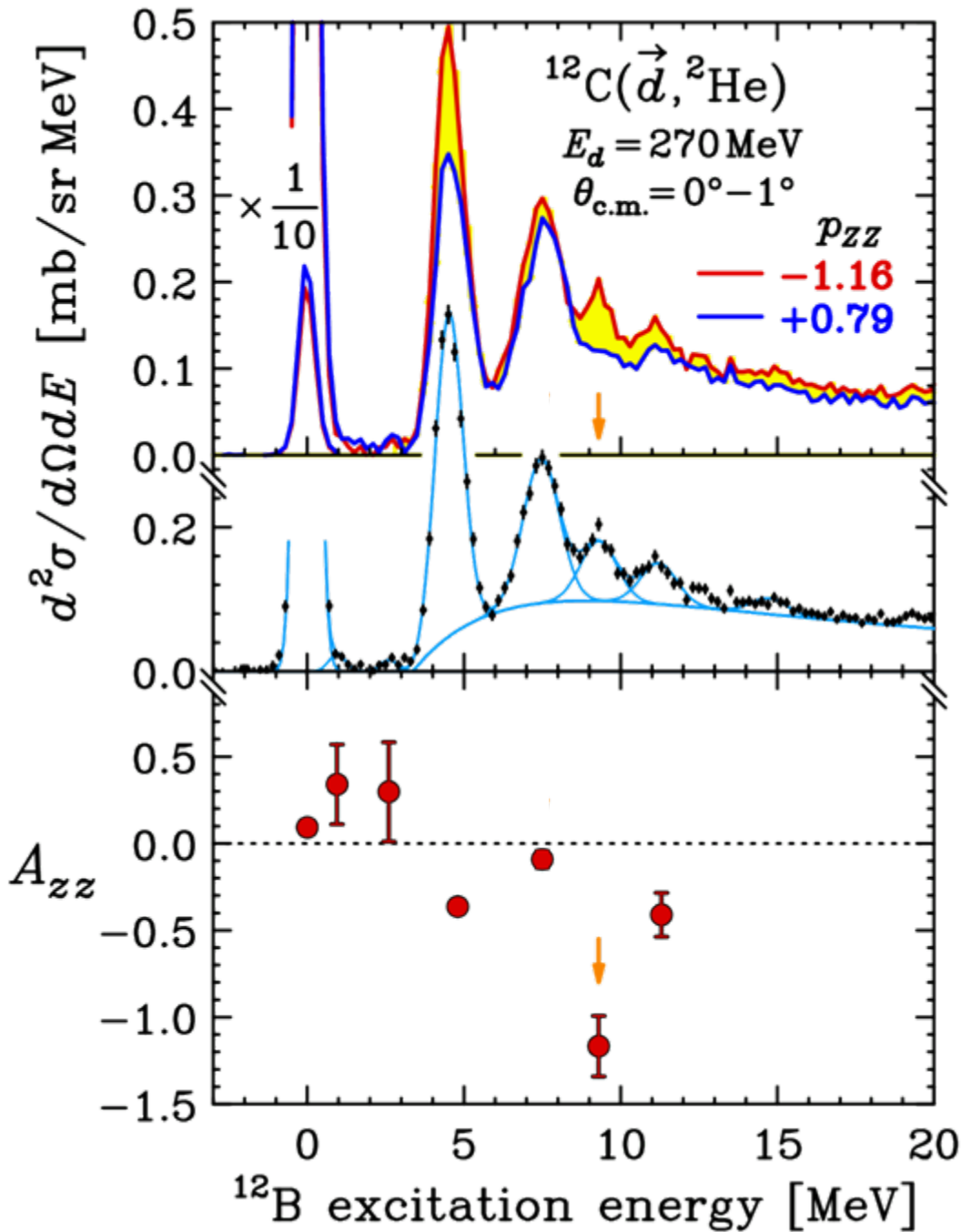
$$p_{ZZ} = N(+1) - 2N(0) + N(-1)$$

$$= 1 - 3N(0)$$



RIKEN-SMART の測定例

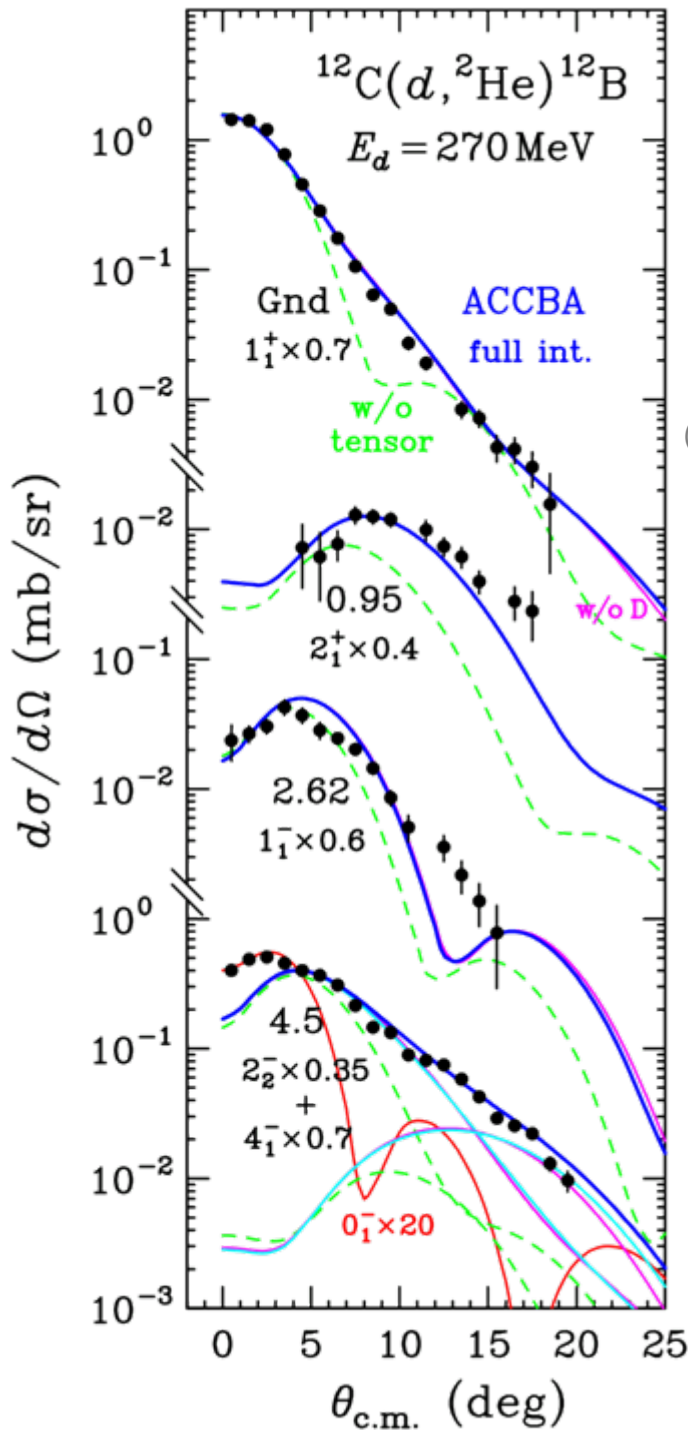
H. Okamura *et al.* PRC 66 (2002) 054602



	0^-	n.p.
$p_{ZZ} = -2$	$3\sigma_0$	0
$p_{ZZ} = +1$	0	$3\sigma_0/2$

$A = 12$ 系で初の 0^- 発見

(p, p') , (p, n) でも
 $D_{NN}(0^-) = -1$
 だが見つかっていない
 \Rightarrow Selectivityの重要性

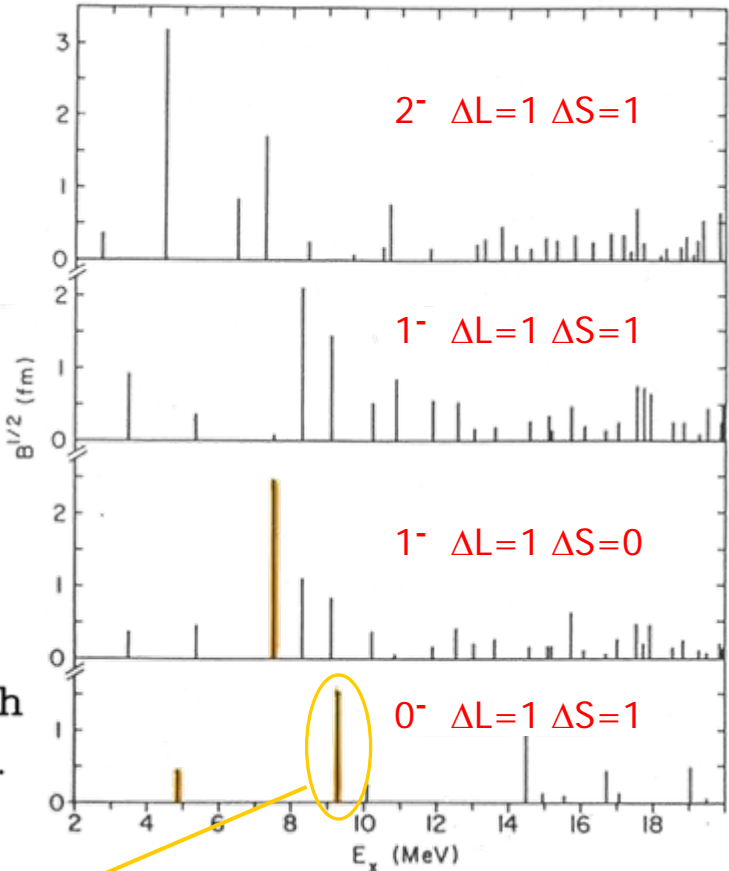
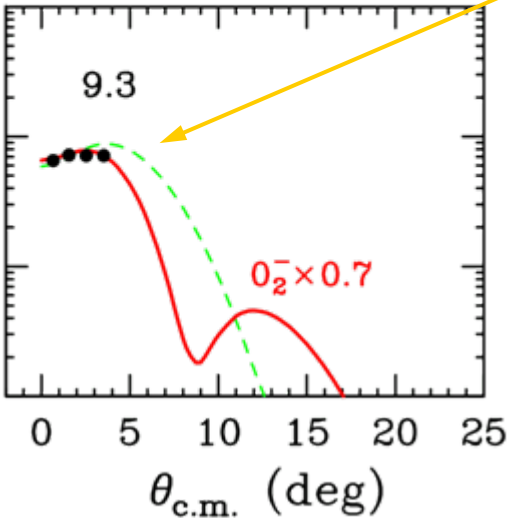


微分断面積
角度分布

Adiabatic
Coupled-Channels
Born Approx.
(後で議論)

規格化因子は
相対値として
(p,n) とconsistent

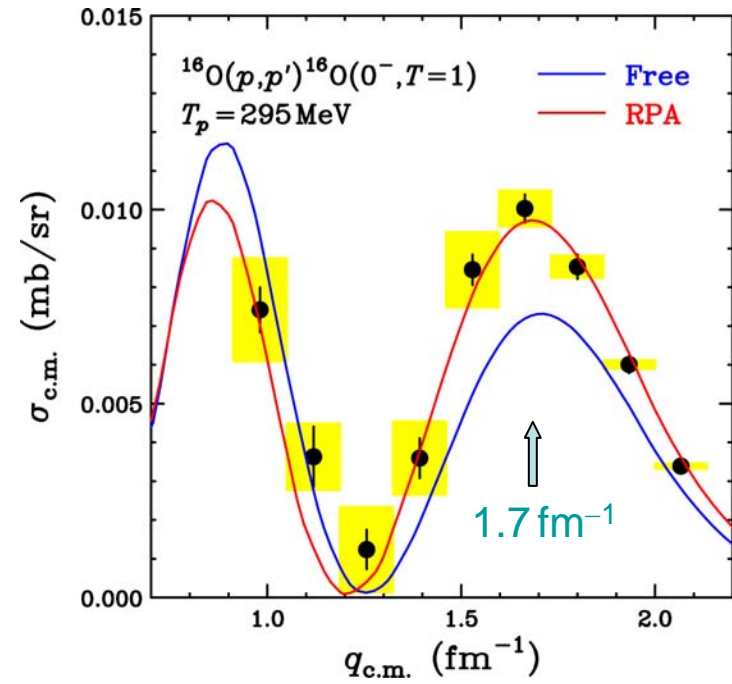
Millener & Kurath
shell-model w. f.



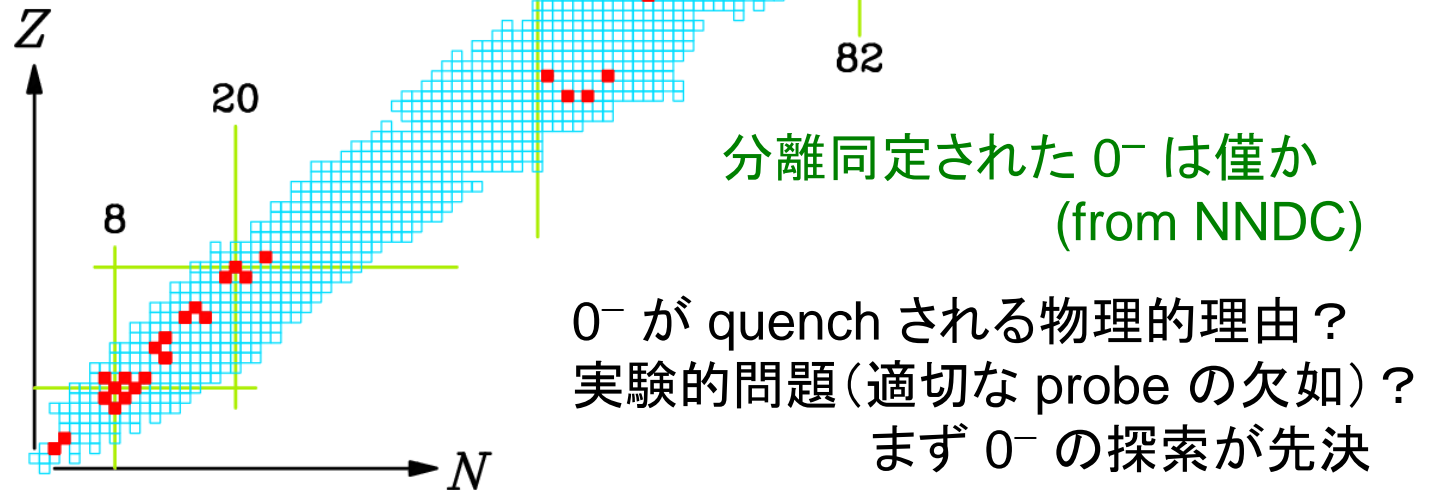
“通常”の殻模型の予想で
0⁻の励起エネルギーと
微分断面積を再現
(実は期待通り?)

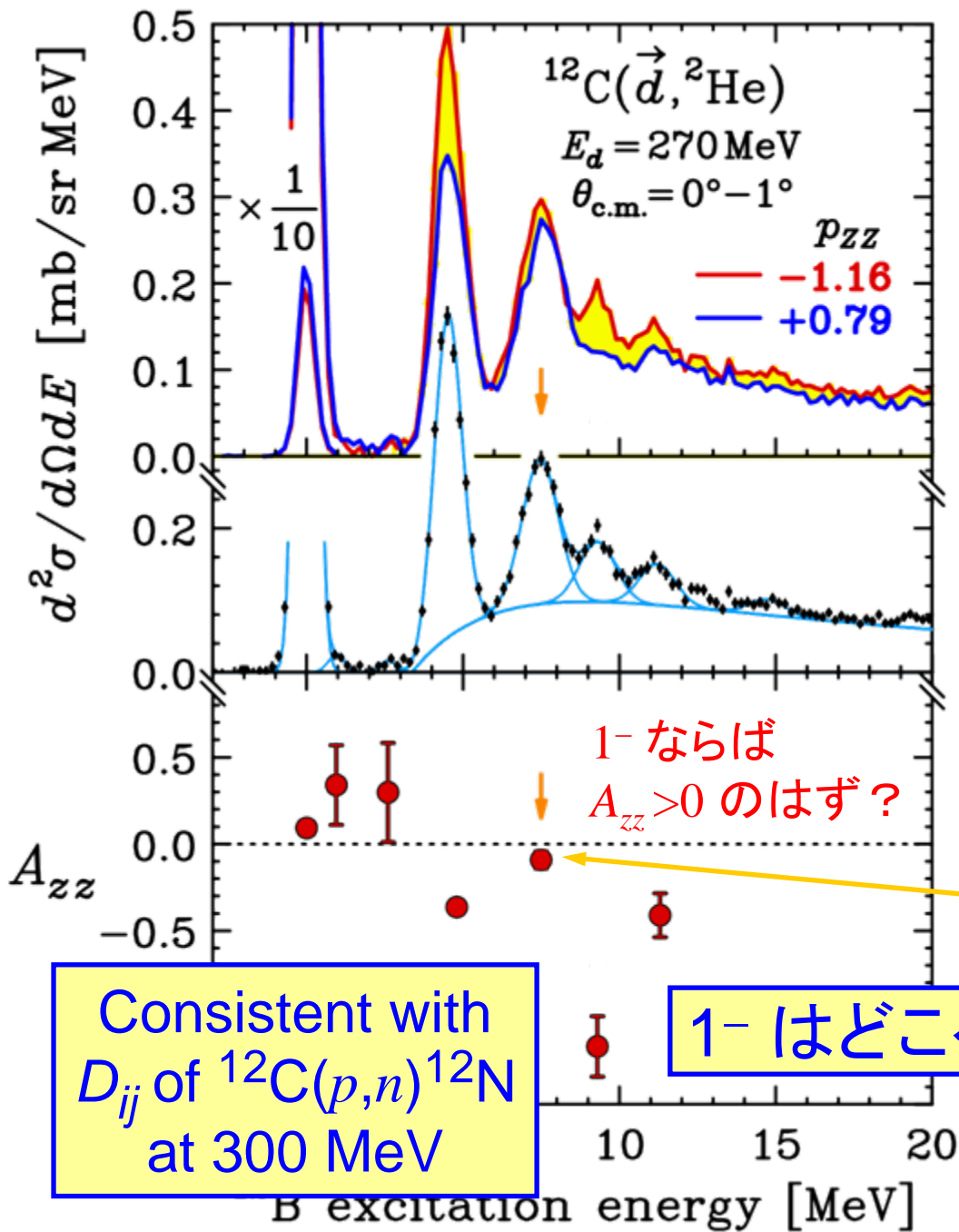
Isvector $0^+ \rightarrow 0^-$ excitation

- carries quantum numbers of π
- purely sensitive to spin-longitudinal response
- direct evidence of π -enhancement at large q



T.Wakasa *et al.* PLB 632 (2006) 485



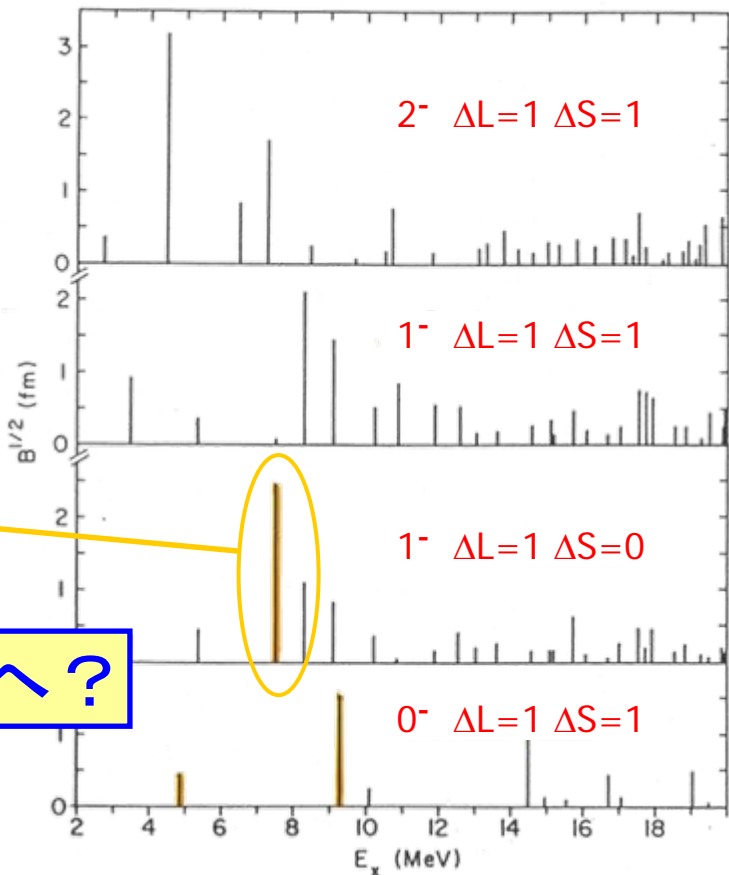


Consistent with D_{ij} of $^{12}\text{C}(p,n)^{12}\text{N}$ at 300 MeV

1-はどこへ?

1-ならば $A_{zz} > 0$ のはず?

	0^-	n.p.
$p_{ZZ} = -2$	$3\sigma_0$	0
$p_{ZZ} = +1$	0	$3\sigma_0/2$



(d, ²He) 反応

²He = p-p in ¹S₀ ... enhanced via p-p FSI

相対エネルギー 1 MeV 以下の p-p を同時計数

¹H(d,pp)n の PWIA によれば P 波以上の寄与は数%

ΔS=1, ΔT=1, ΔT_Z=+1 (n,p) 型反応

ビーム・検出粒子とも荷電粒子 ... 高効率・高分解能

問題点:

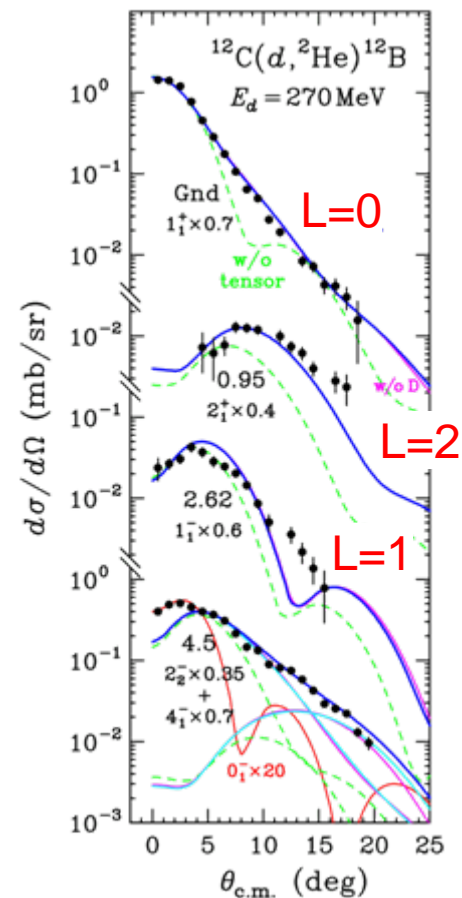
✓ 大口徑スペクトログラフ ... 分解能に限界

✓ 高い偶発同時計数率 ... ビーム量に制限

σ(d,pX) は A^{2/3} に比例 ... 重核は難しい

cf. σ(³He,dX) ∝ A^{1/3}

✓ ψ[d], ψ[²He] の空間広がり大 ... 単調な角度分布



他の反応の可能性

bound & compact ejectile (0^+) & projectile (1^+) w/o excited state
 even-even odd-odd

安定な odd-odd 核 : ${}^2\text{H} (1^+)$, ${}^6\text{Li} (1^+)$, ${}^{10}\text{B} (3^+)$, ${}^{14}\text{N} (1^+)$ 4つ

${}^6\text{Li}$: アルカリ金属 ... 円偏光レーザーで大強度偏極ビーム

${}^6\text{He}$: 束縛粒子 ($t_{1/2}=807\text{ms}$) ... 高効率・高分解能測定

有望な反応: (${}^6\text{Li}, {}^6\text{He}$)

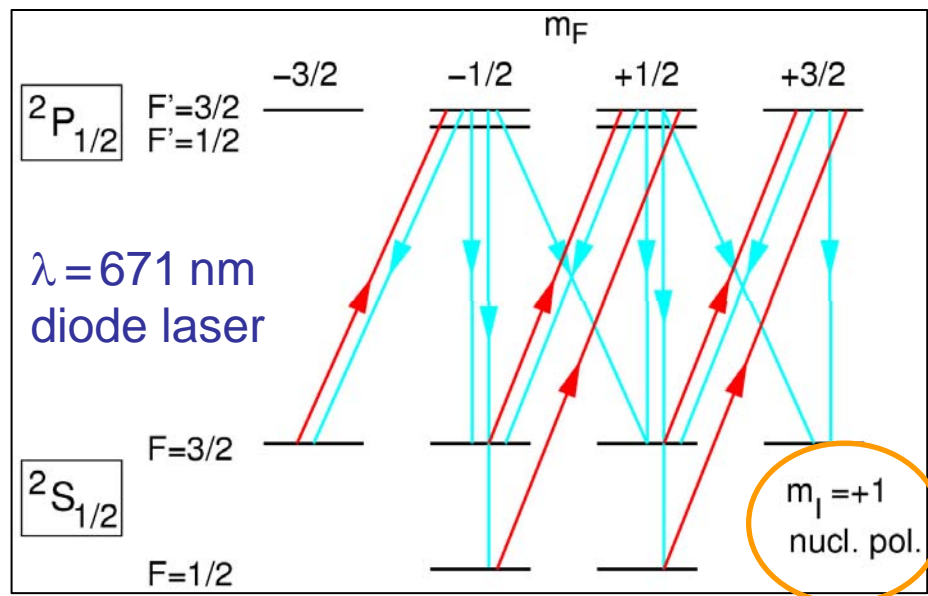
ただし (p, n) 型

(${}^6\text{Be}$ は unbound)

反応機構をシンプルに

⇒ 100 MeV/u 以上

⇒ ${}^6\text{Li}^{3+}$ が必要

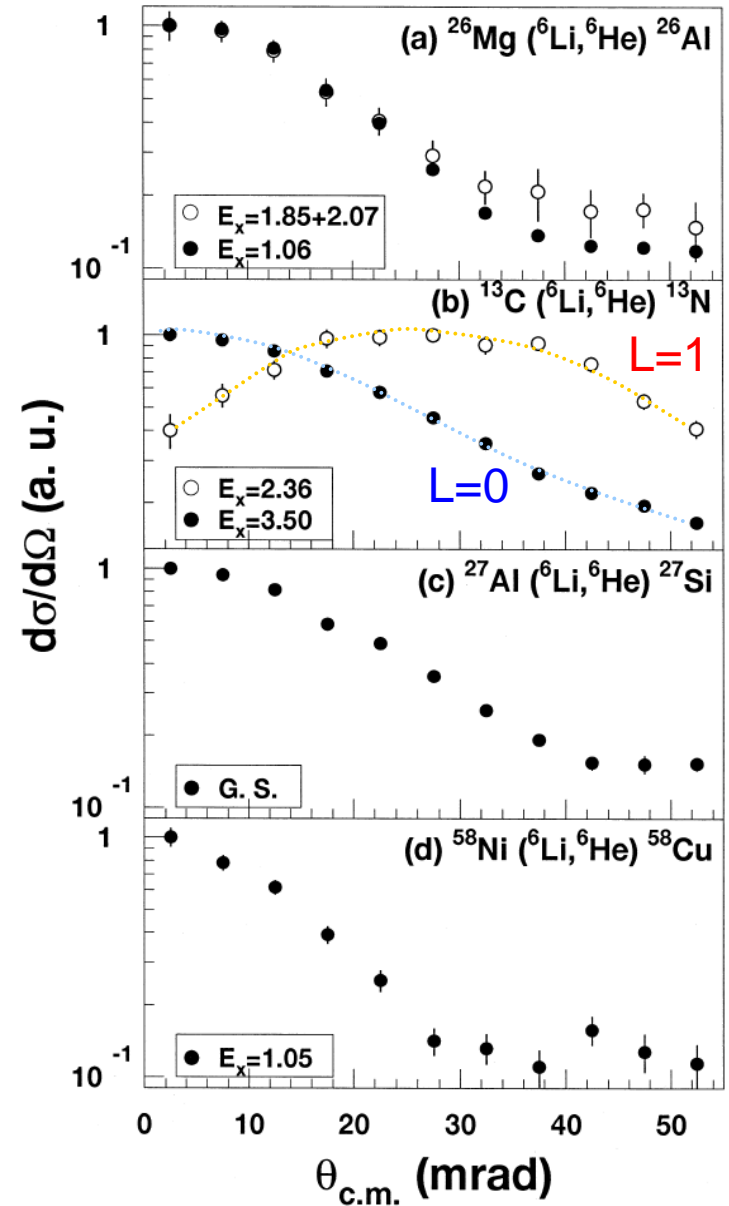
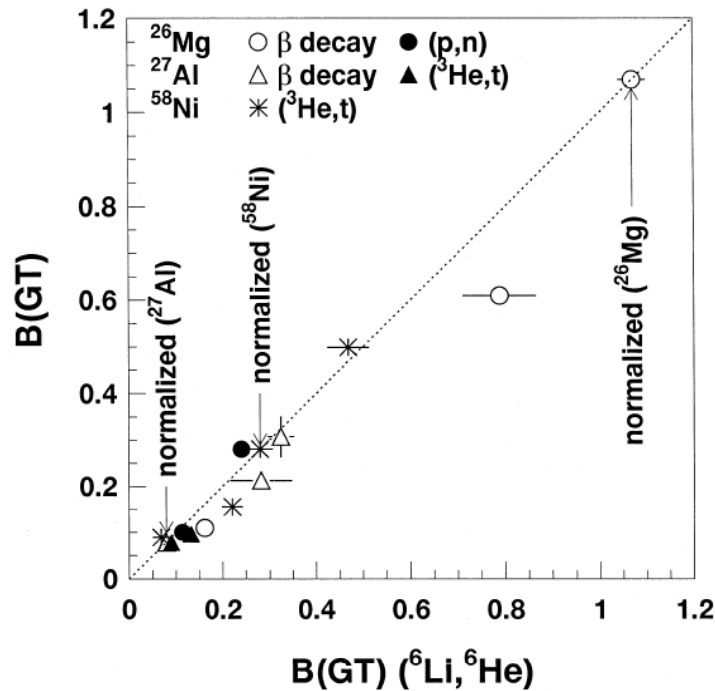


$({}^6\text{Li}, {}^6\text{He})$ $E/A=100$ MeV @ RCNP

H.Ueno *et al.*, PLB 465 (1999) 67

$\Delta E \sim 400$ keV, but w/ old operation of G-Raiden

looks like 1-step direct reaction
.... promising



Other applications of polarized lithium

$({}^6\text{Li}, {}^6\text{Li}[0^+;1] \gamma) \dots$ M1 excitation

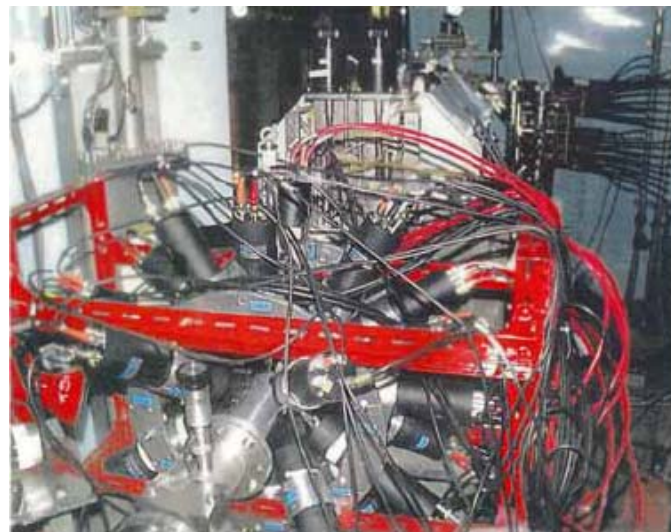
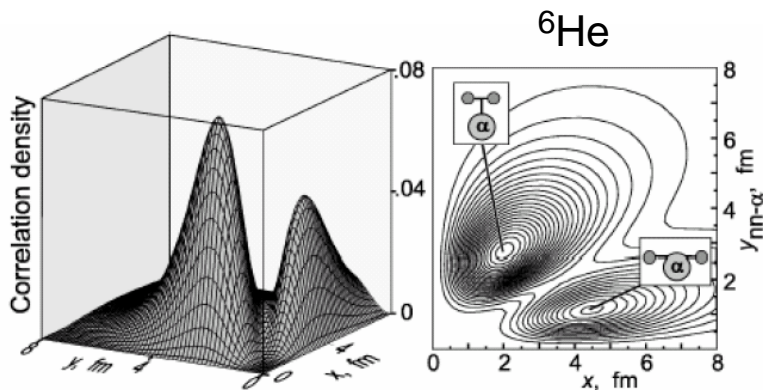
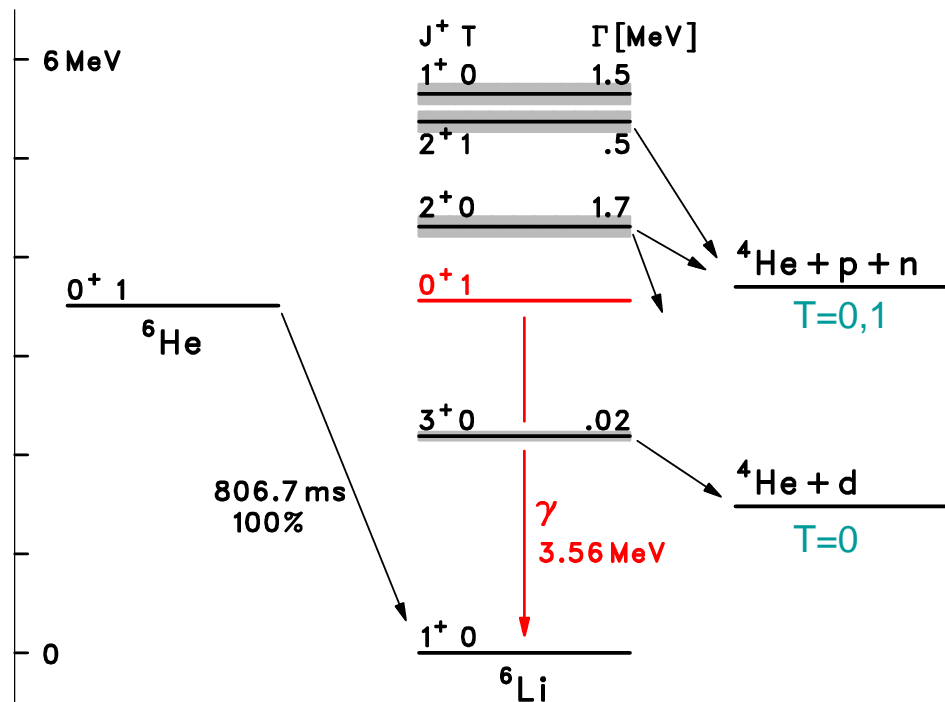
$({}^7\text{Li}, {}^7\text{Be} \gamma) \dots$ (n,p) channel

Li elastic-scatt./breakup

\dots reaction mechanism

Spin structure of cluster states, di-nucleon, ...?

$$\mu[{}^6\text{Li}] \simeq \mu[d], \quad Q[{}^6\text{Li}] \simeq \frac{1}{3}Q[d]$$



S.Nakayama *et al.*, NIM A404 (1998) 34.

偏極 ${}^{6/7}\text{Li}$ ビーム加速実績

• MPI Heidelberg 1977~1999?

Optical Pumping + Surface Ionizer + Charge Exch. + Tandem
(Initially Sextupole Mag.)

${}^6\text{Li}^+$: $\sim 20\mu\text{A}$, ${}^6\text{Li}^-$: $\sim 0.3\mu\text{A}$, ${}^6\text{Li}^{3+}$: $\sim 80\text{nA}$ $p = 80\%$
 $E_{\text{max}} = 24 \text{ MeV}$

• Saturne 1990~1992

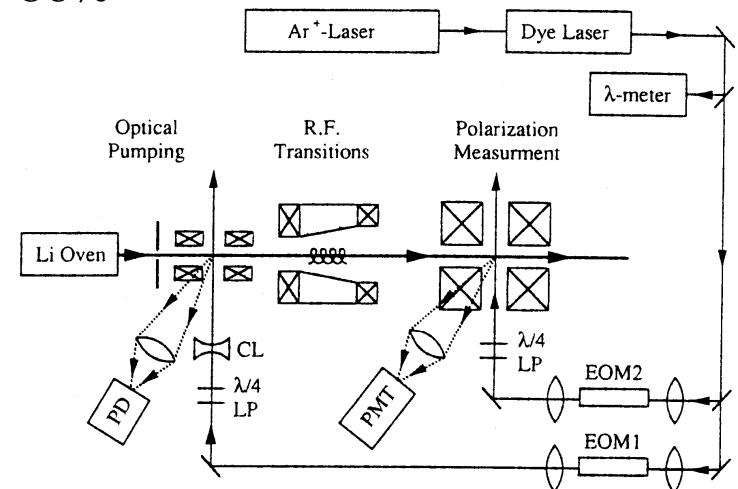
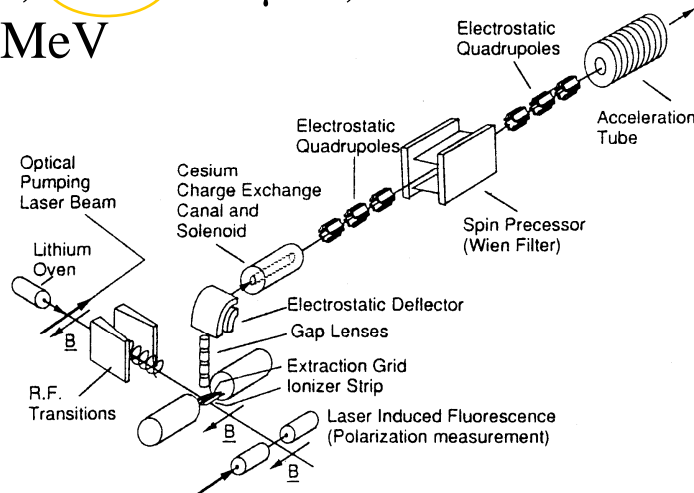
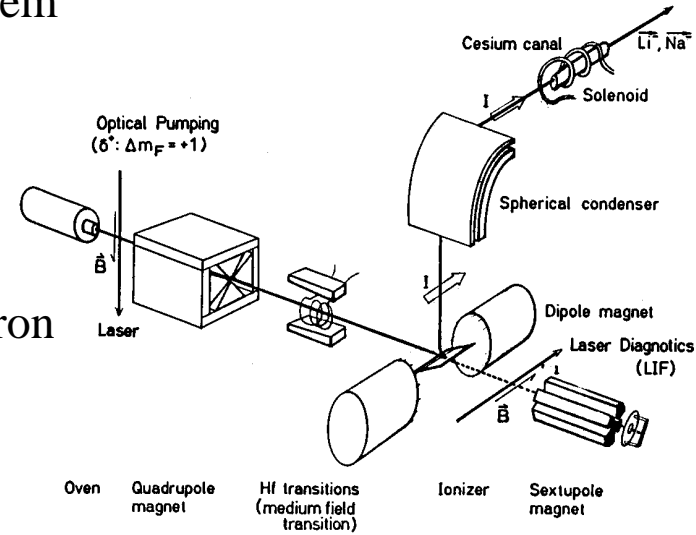
Sextupole Mag. + Surface Ionizer + EBIS (5T) + Synchrotron

${}^6\text{Li}^+$: $20\sim 35\mu\text{A}$, ${}^6\text{Li}^{3+}$: $7 \times 10^8 / \text{spill}$ $p = 70\%$
pulse beam $E_{\text{max}} = 4.5 \text{ GeV}$

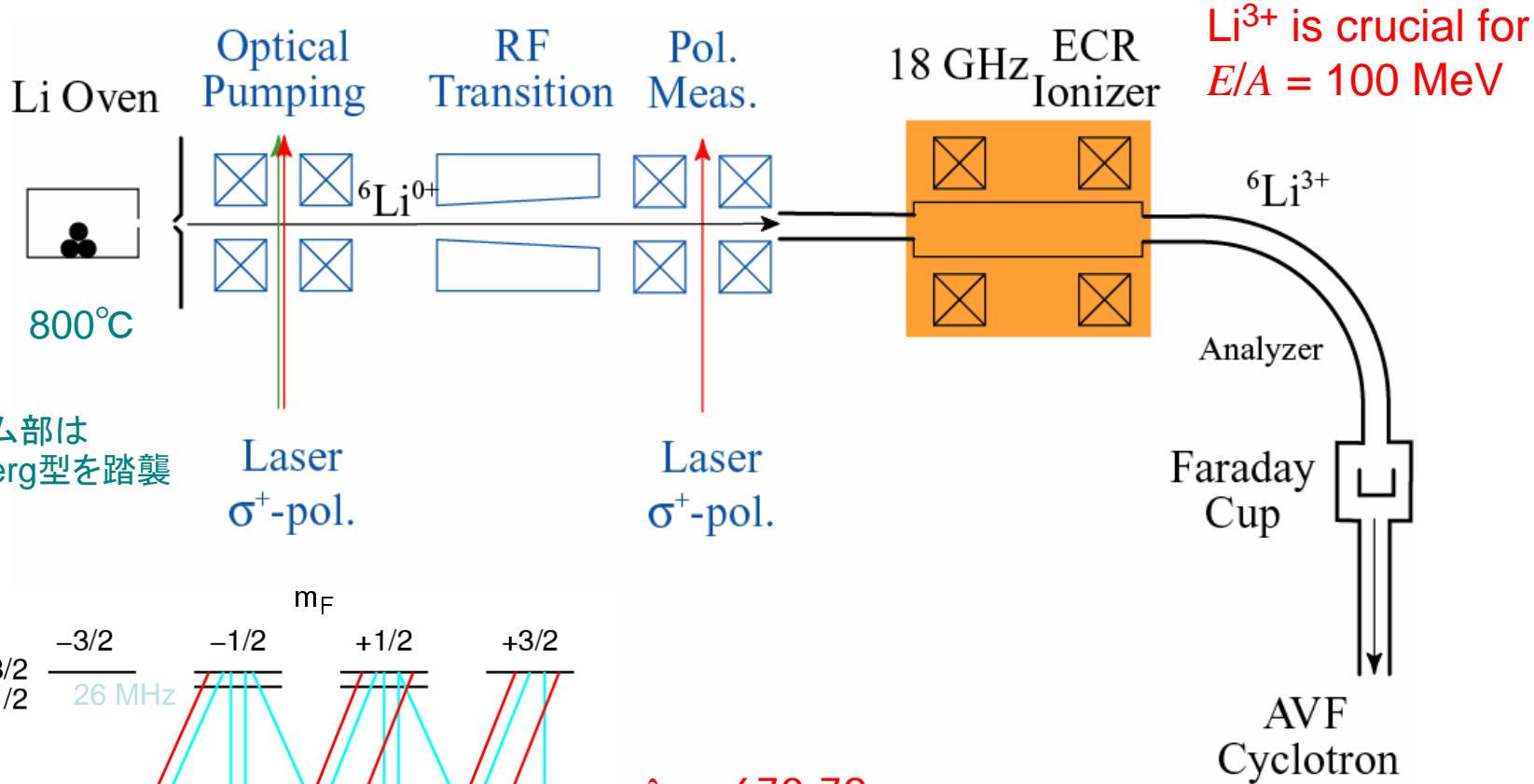
• Florida State Univ. 1991~ (active)

Optical Pumping + Surface Ionizer + Charge Exch. + Tandem + LINAC

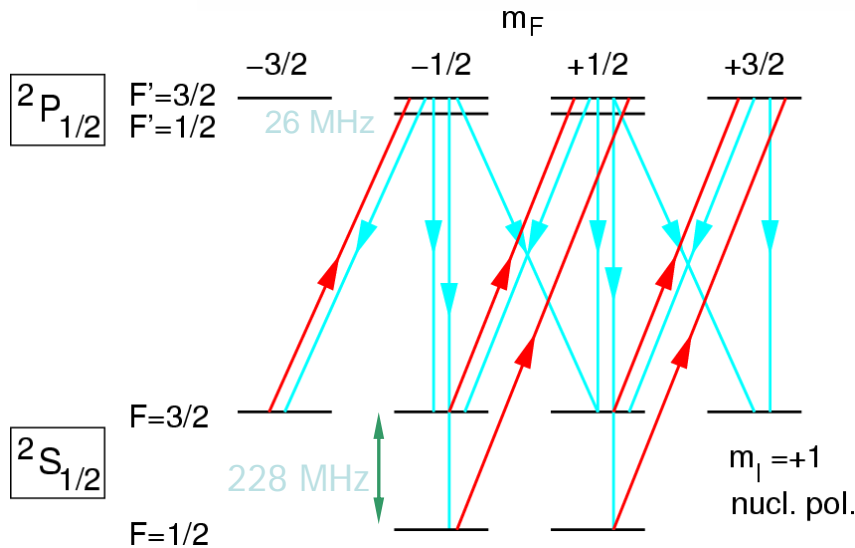
${}^6\text{Li}^+$: $\sim 8\mu\text{A}$, ${}^6\text{Li}^-$: $\sim 0.2\mu\text{A}$, ${}^6\text{Li}^{3+}$: $\sim 150\text{nA}$ $p = 86\%$
 $E_{\text{max}} = 60 \text{ MeV}$



RCNP 偏極リチウムイオン源計画



偏極原子ビーム部は
FSU・Heidelberg型を踏襲



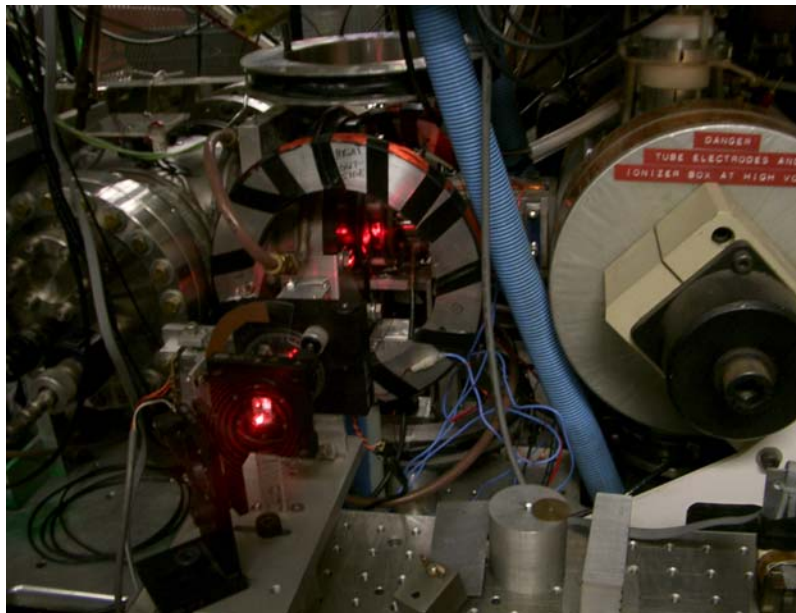
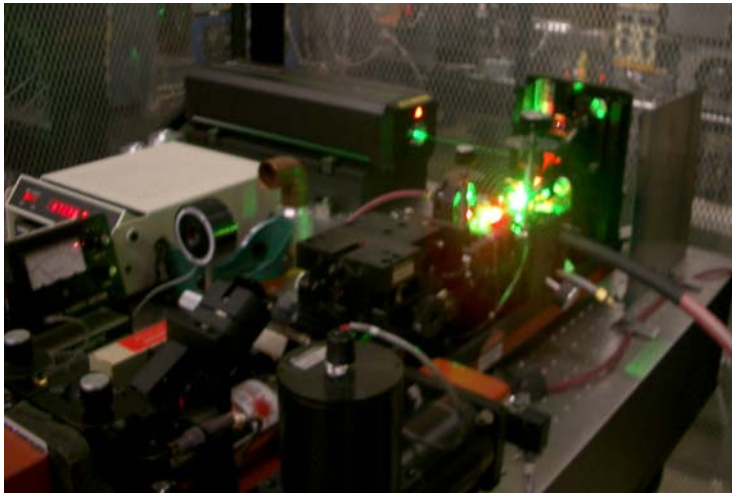
$\lambda = 670.79 \text{ nm}$
lifetime 27 ns ($\gamma = 37 \text{ MHz}$)
 $v_{\text{max}} \approx 3 \text{ km/s}$
 $\Delta\theta_{\text{ds}} \approx \pm(v_{\text{max}}/c)(\gamma/2\omega) = \pm 0.66 \text{ mr} (0.037^\circ)$

⇒ 2波長光必要

single-mode ($\sim 1 \text{ MHz}$)

Florida State Univ. 1991~

Ar + Dye Lasers (30~60 mW) + EOM



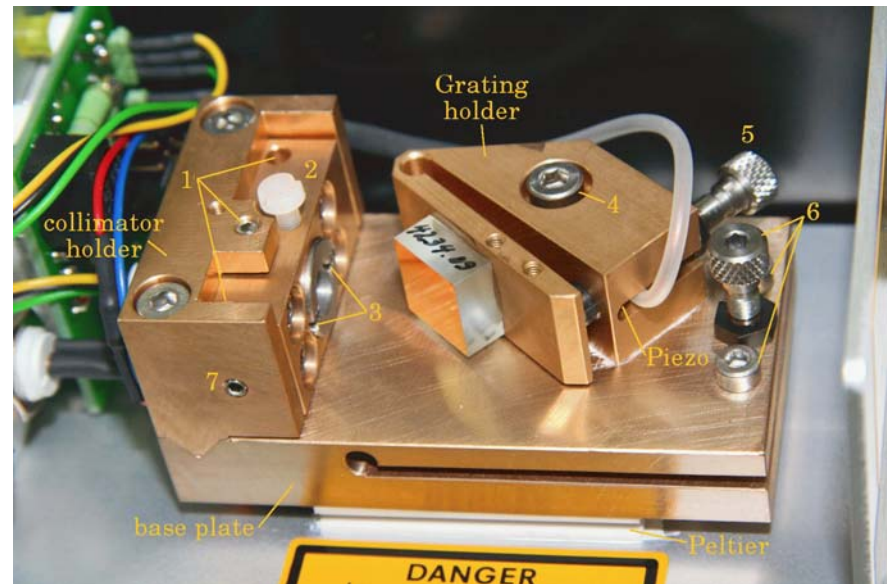
RCNP

TOPTICA DL100



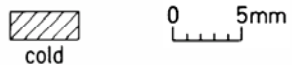
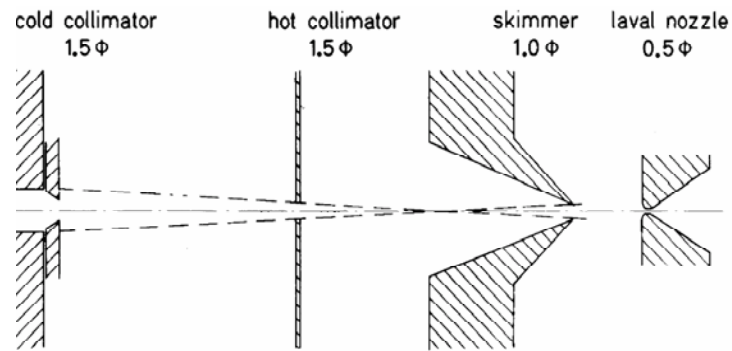
Littrow-type ECLD
15 mW@671 nm ×3
2 for pumping
1 for LIF

Feed-Forward [Piezo→Power]
⇒ 80 GHz scan w/o mode-hop



ノズル・スキマー幾何はFSU・Heidelberg型を踏襲

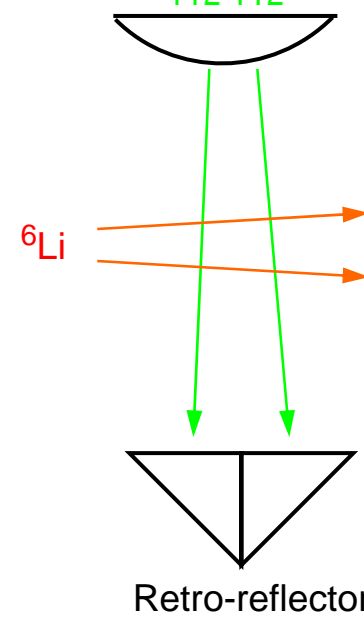
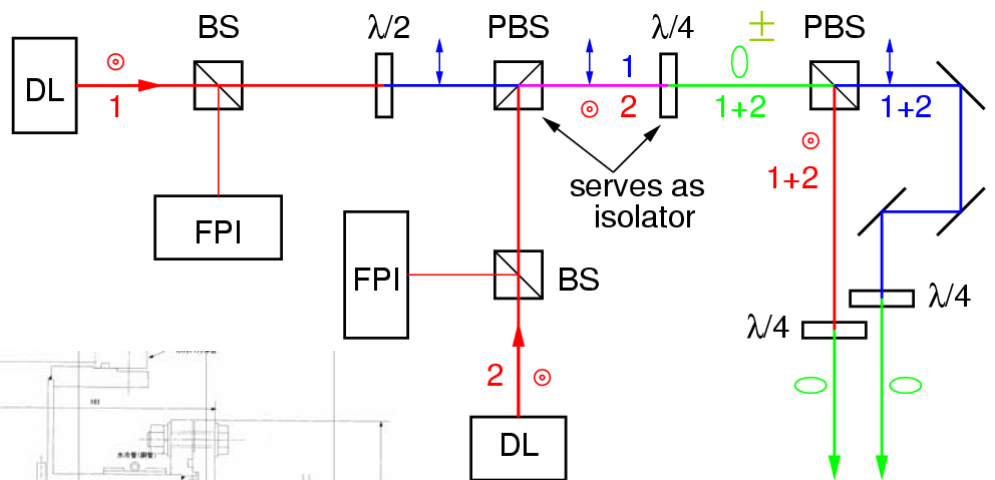
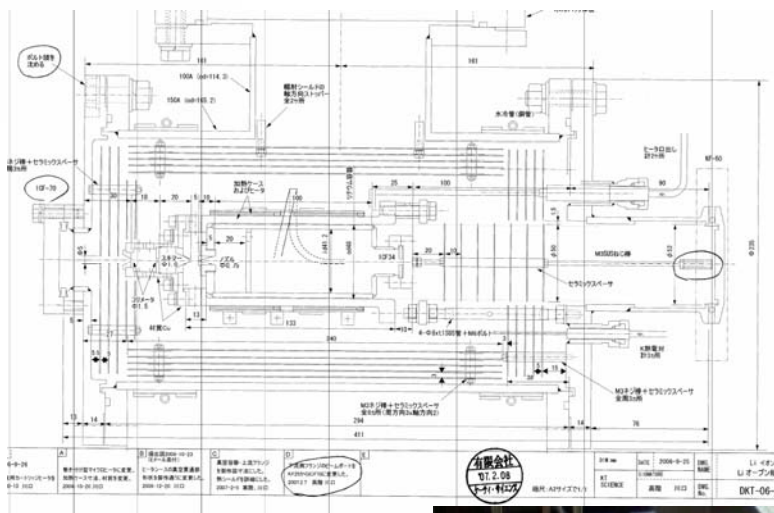
Optics Layout



${}^6\text{Li}$ 消費量
25g/2weeks (3K円/g)

Li 原子線強度

800°C (\Leftrightarrow 3 Torr),
 $\phi 0.5$ mm orifice,
 ± 20 mr collimation



$N(0^\circ)d\Omega \sim 1 \times 10^{15} \text{ s}^{-1}$ ($\Leftrightarrow 160 \text{ p}\mu\text{A}$)
cf. $2.6 \times 10^{16} \text{ s}^{-1}$ ($\Leftrightarrow 4 \text{ mA}$) 理研偏極重水素イオン源

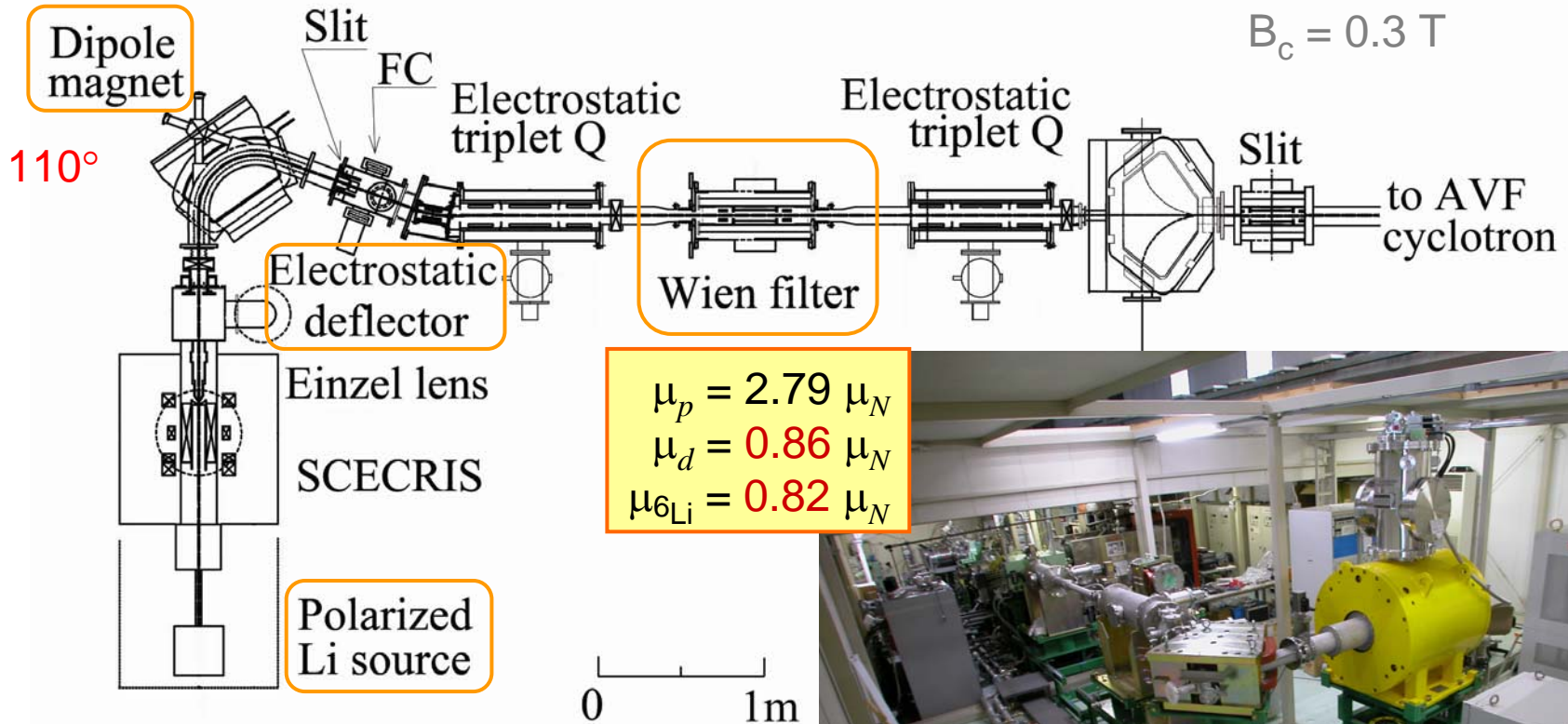
炭素厳禁!!
Li + C =
リチウムイオン
電池の反応

	融点 [°C]	熱伝導度 [W/m/K]	キュリー点 [°C]
SS	1535	80	770
SUS	1400	15	
Ni	1455	91	359

イオン源系のアップグレード

◎18GHz超伝導ECRイオン源

$$B_{\text{ECR}} = 0.64 \text{ T}$$
$$V$$
$$B_{\text{C}} = 0.3 \text{ T}$$



- ・理研のRAMSESがベース
- ・六極電磁石内径を90mm、プラズマチェンバー内径を80mmに拡大

スピン回転方法 I

磁気モーメント $\mu = \frac{e\hbar}{2m_p c} (1+a)$

Dirac 粒子 : $a=0 \Leftrightarrow \omega_s = \omega_c$

磁場 B 中 軌道回転角速度

$$\omega_c = \frac{eB}{m\gamma}$$

Cyclotron Freq.

スピン回転角速度

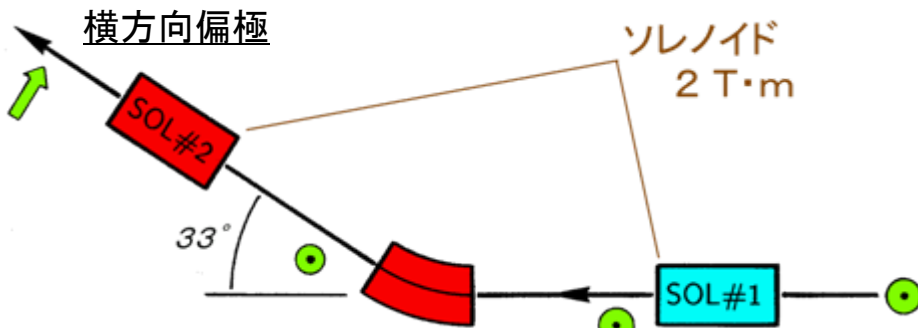
$$\omega_s = \frac{eB}{m\gamma} (\gamma a + 1)$$

Larmor + Thomas 歳差

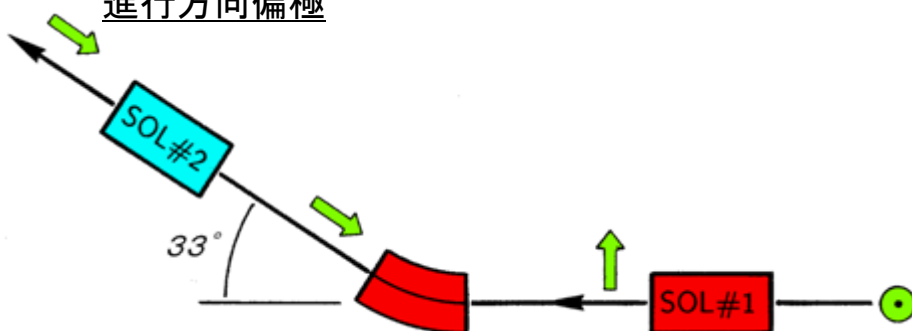
陽子 : $\mu_p = \mu_N \times 2.793$

^3He : $\mu_{\text{He}} = \mu_N \times -2.128$

p 500 MeV の場合



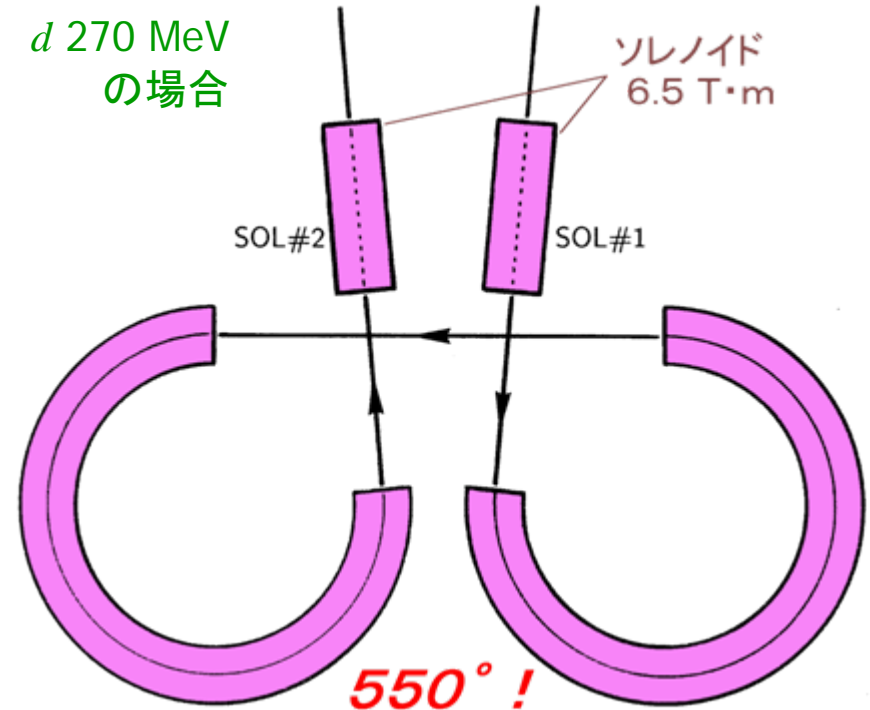
進行方向偏極



重陽子 : $\mu_d = \mu_N \times 0.857$

^6Li : $\mu_{\text{Li}} = \mu_N \times 0.822$

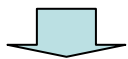
d 270 MeV の場合



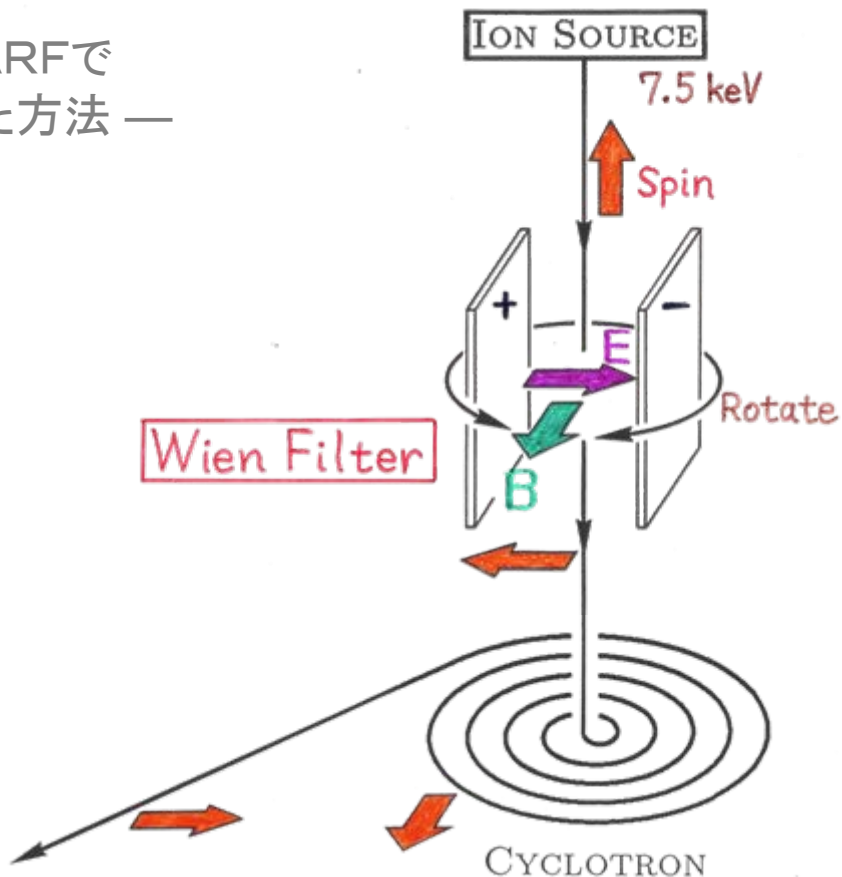
スピン回転方法 II

— 理研RARFで
採用した方法 —

磁場でスピン回転
電場を併用して軌道は戻す



加速器入射前の
低エネルギーならば可能



バン・デ・グラフでは一般的だが
サイクロトロンでは加速中にスピン歳差運動

- 特定のターンのみを引き出す必要有り (single-turn extraction)
等時性 ... 連続エネルギーで加速可能 \leftrightarrow 位相安定性
 - リングサイクロトロン ... 可 (入射ビーム整形・Phase Compression)
 - AVF サイクロトロン ... 難 (中心部弱収束領域で制限)
- 加速後のスピンの向きを高効率でモニターする偏極度計必要

RCNP サイクロトロン 施設

リングサイクロトロン
K=400 MeV
 $\Delta E/E \sim 10^{-4}$
1992~



折衷方式



- ソレノイド調整の度にリング調整が必要
- d は任意回転できない (~60°間隔)

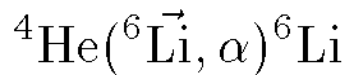


AVFでもシングルターン加速
できればイオン源で回転可能

AVFサイクロトロン
K=140 MeV
1973~

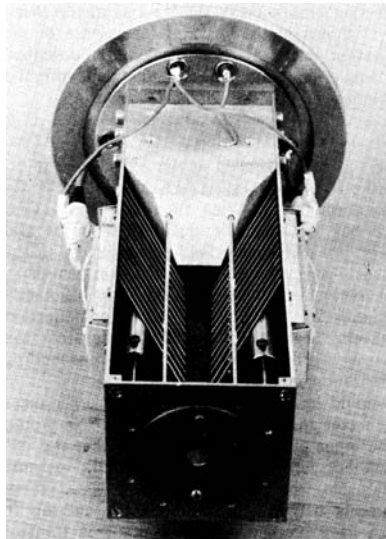


偏極度計@AVF下流



$$E_{6\text{Li}} \leq 60 \text{ MeV}, \quad \theta_\alpha = 30^\circ$$

FSU, MPI-Heidelberg で豊富な実績

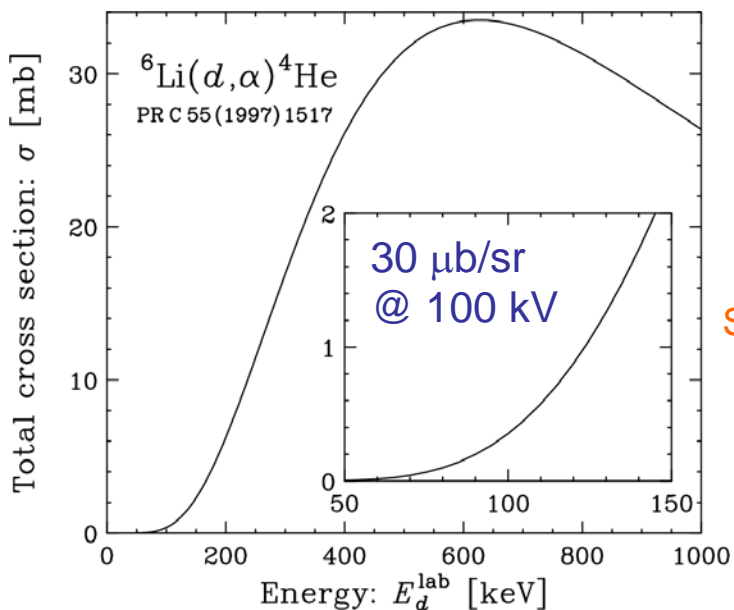


偏極度計@イオン源

$$A_{yy} [{}^2\text{H}({}^6\vec{\text{Li}}, \alpha)\alpha] = A_{yy} [{}^6\text{Li}(\vec{d}, \alpha)\alpha]$$

by parity conservation

$$E_\alpha \cong 11 \text{ MeV}$$

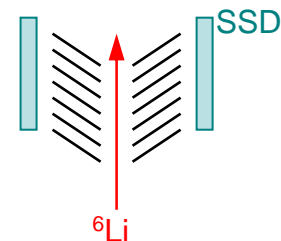


$$V_{\text{SCECR}} = +19 \text{ kV}$$

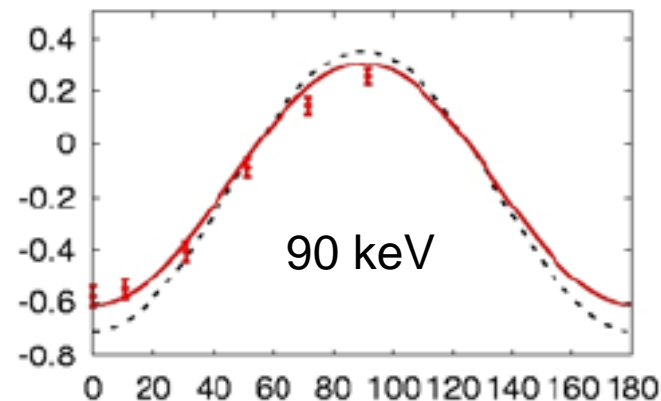
$$\Rightarrow V_{\text{target}} \leq -80 \text{ kV}$$

Secondary electron suppression
 $V_{\text{acc.}} > V_{\text{target}}$ by 0.5~few kV

Venetian-blind type collimator



${}^6\text{Li}(d, \alpha), T_{20}$



M.Yamaguchi et al. @Tsukuba

Neutron Generator (D+D)
<http://www.thermo.com/>



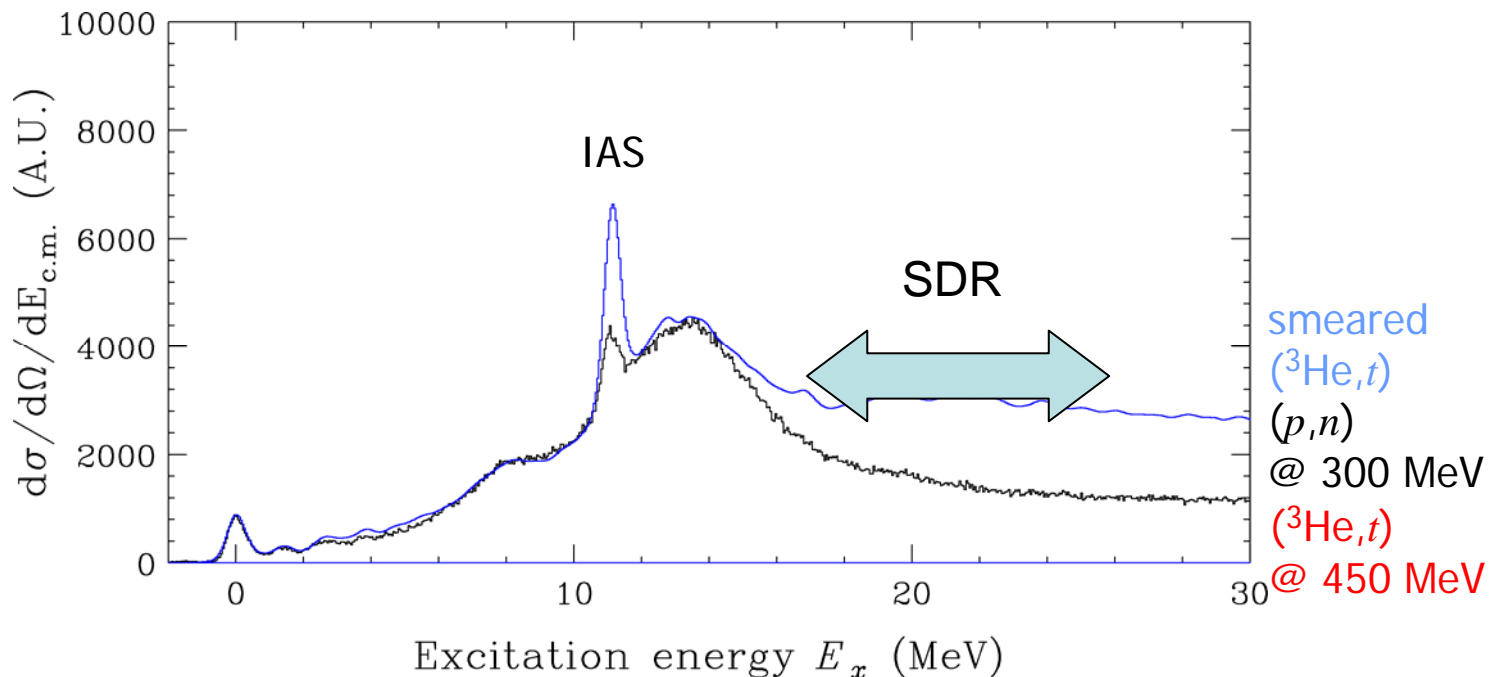
複合粒子反応機構 に関してコメント

$$\frac{d\sigma}{d\Omega}(q \sim 0, E_x) = \hat{\sigma}(E_i, A) F(q, \omega) B(GT)$$

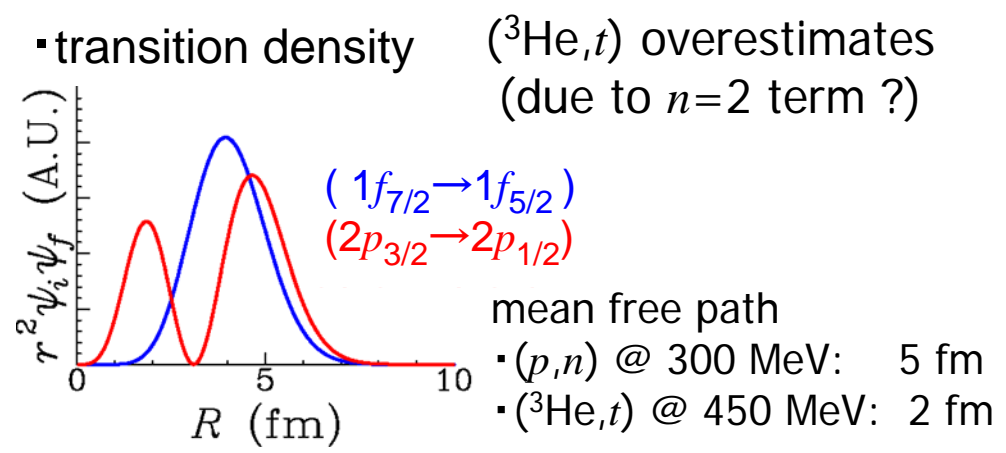
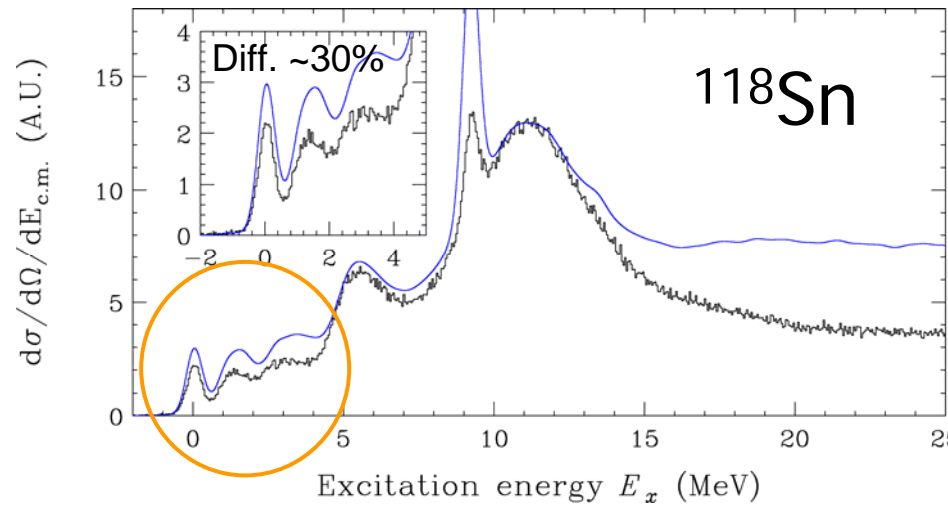
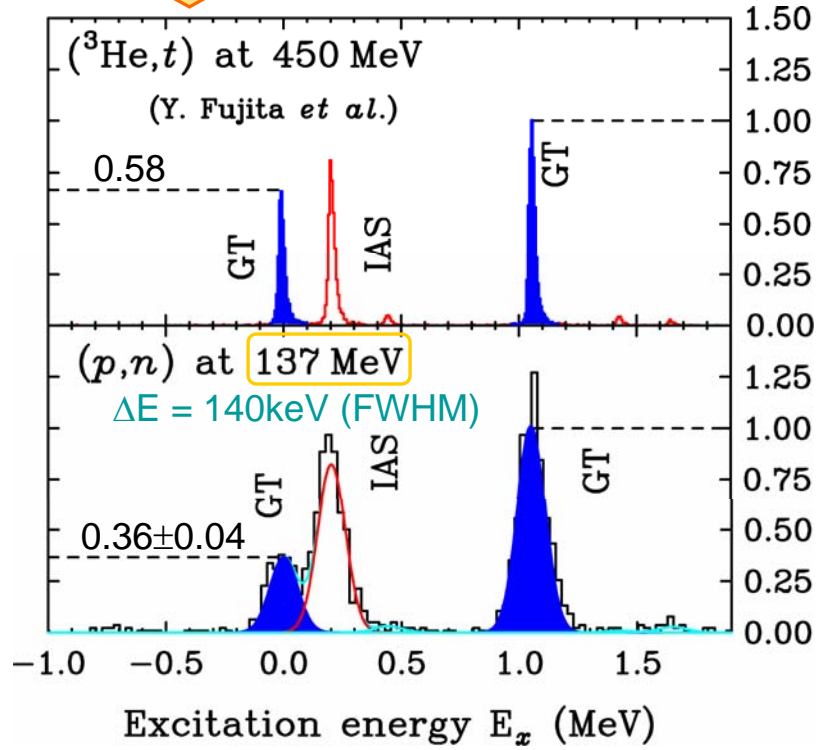
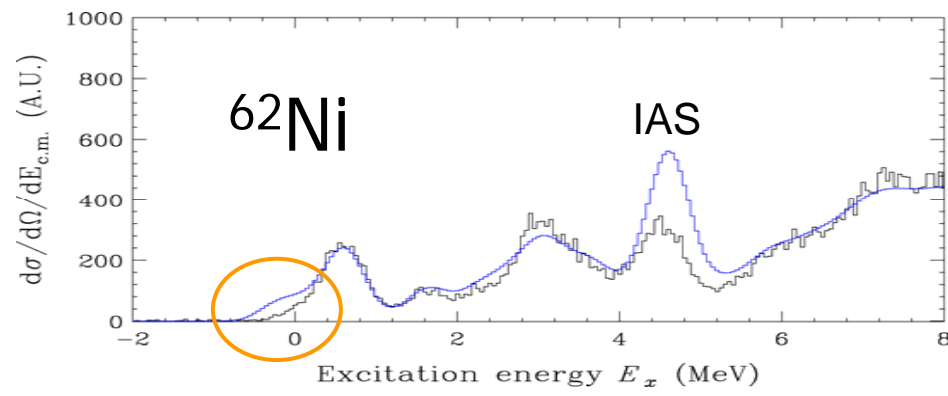
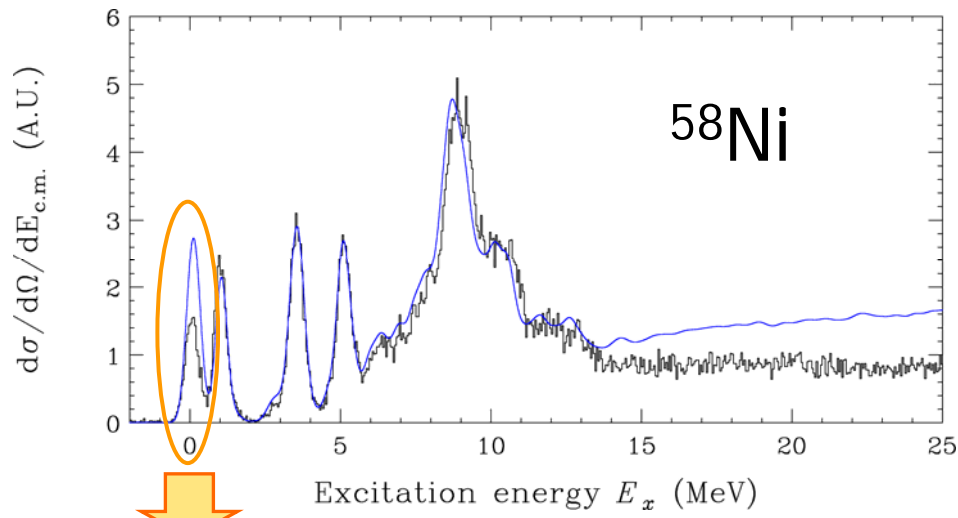
e.g. T.N. Taddeucci et al., NPA 469 (1987) 125

笹野(東大)氏の解析
含 Preliminary データ

Comparison: (${}^3\text{He}, t$) & (p, n) ${}^{100}\text{Mo}$



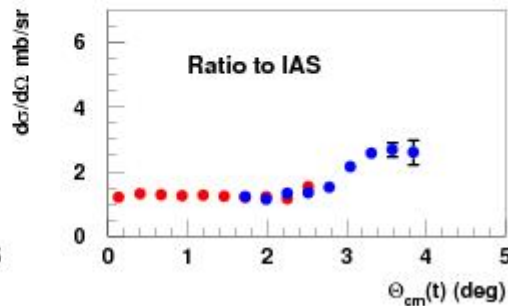
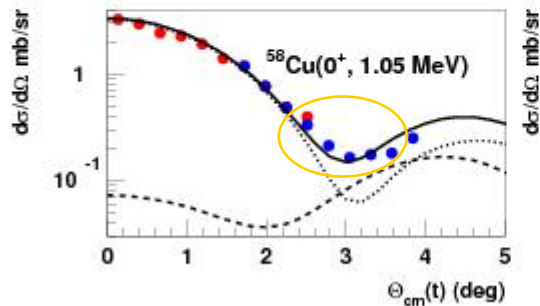
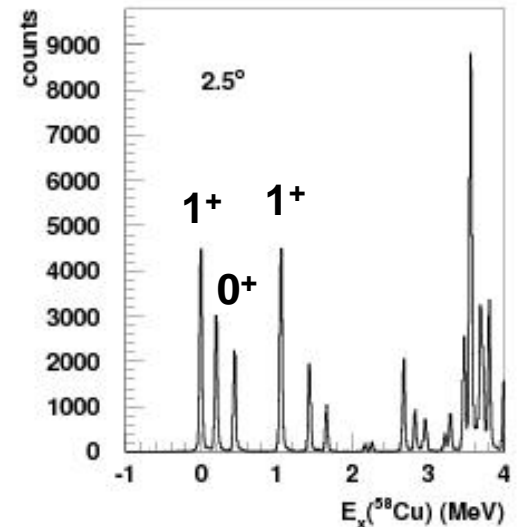
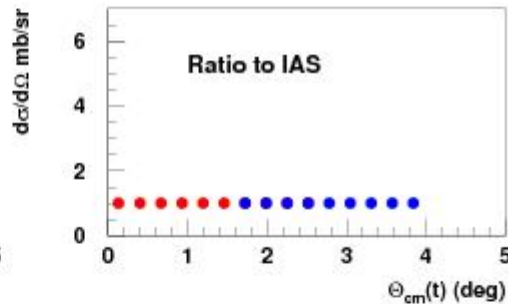
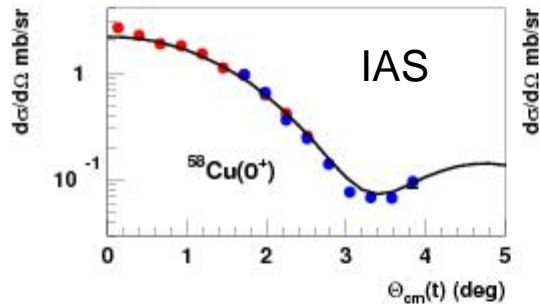
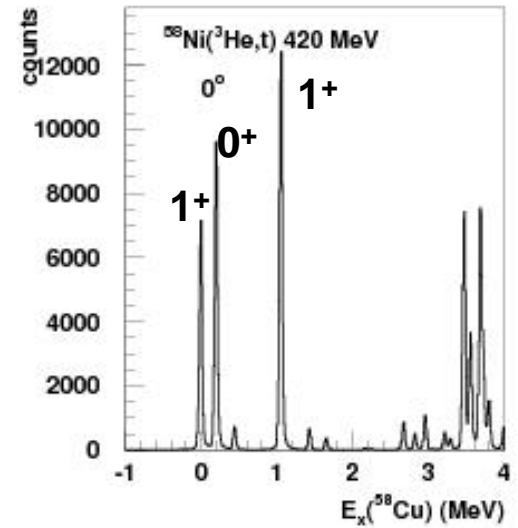
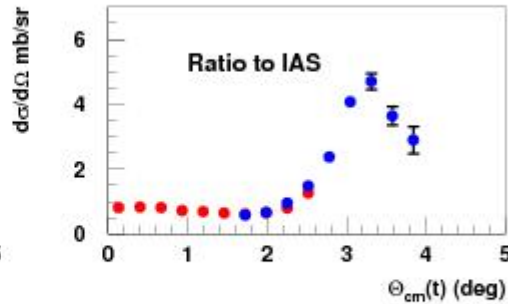
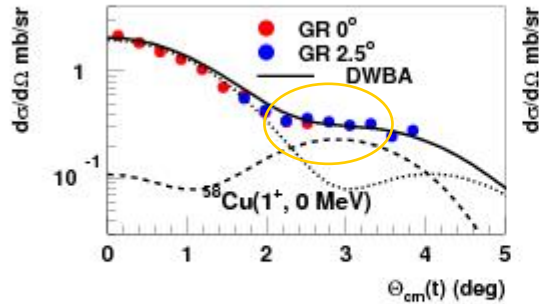
Good agreement up to GTGR region



0.41±0.03 @ 198MeV
0.38±0.01 @ 297MeV $(^3\text{He},t) > (p,n)$ by 40%

New $^{58}\text{Ni}(^3\text{He},t)$ data: very preliminary

by courtesy of R.G.T. Zegers



Proportionality between $q=0$ cross section & $B(\text{GT})$

$$\frac{d\sigma}{d\Omega}(q \sim 0, E_x) = \hat{\sigma}(E_i, A) F(q, \omega) B(\text{GT})$$

T.N. Taddeucci et al., NPA 469 (1987) 125

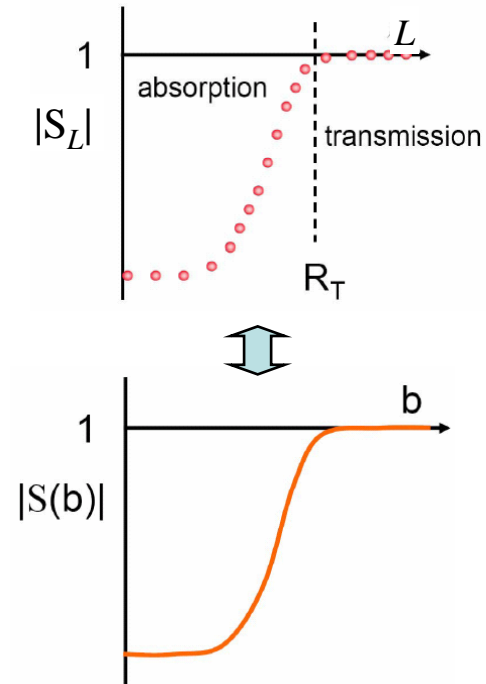
Assumptions:

- Only $\ell = 0$ form factor contributes.
But $\ell = 2$ components can be important, while it is negligible in β -decay.
- Only central interaction $V_{ST}(r)$ contributes.
But tensor int. can be important event at $\theta = 0^\circ$ & $\ell = 0$ through knock-on exchange processes.
- Eikonal approximation & $b \rightarrow 0$!?

$$\chi_f^*(\mathbf{k}_f; \mathbf{r}) \chi_i(\mathbf{k}_i; \mathbf{r}) \xrightarrow{\text{eikonal}} \exp(i\mathbf{q} \cdot \mathbf{r}) S(b),$$

where $b \simeq L/k$, but $L \neq \ell = 0$!!

T=1 : ok
T=0 : not



Systematic analyses desired need more reliable calc. code for (${}^3\text{He}, t$)

軽重イオン直接反応

- 選択性 & RCNP の高分解能を利用したユニークな核分光が可能
- $(d, {}^2\text{He}), ({}^6\text{Li}, {}^6\text{He}) \cdots 1^+ + 0^+ \rightarrow 0^+ + \pi$ 型反応
テンソル偏極分解能 $A_{zz}(0^\circ)$ による
 $0^- 1^-$ (自然パリティ) の模型非依存・高感度識別
⇒ テンソル相関 (π 中間子相関) の情報
- 偏極 ${}^6\text{Li}$ イオン源・スピン回転制御 (シングルターン) の整備が進行中
- 複合粒子反応解析の精度向上の提案 — 例: $({}^3\text{He}, t)$ vs. (p, n) —
 - ✓ 散乱粒子分解チャンネルを結合した散乱波解の利用
 - ✓ 散乱粒子・標的核内の相互作用二核子の正しい反対称化 (含テンソル相互作用)
 - ✓ 密度依存型有効相互作用による媒質効果の導入
 - ✓ (できれば CCBA でなく) 荷電交換も含むチャンネル結合計算が強く望まれる

個々の理論的道具は揃っている

(= 古い技術: 反応理論家には魅力に乏しいかも知れないが...)

組み合わせせて利用可能範囲を拡大する事が重要

⇒ 不安定核による直接反応 (理研 RIBF) の発展へ

Backup

もう少しまじめに基本的対称性から・・・

鏡映(空間反転+回転)不変性

$$\begin{aligned} & \langle \pi_B I_B M_B + 00 | T | +00 + 1 M_a \rangle \\ & = -\pi_B (-)^{I_B} \\ & \quad \times \langle \pi_B I_B -M_B + 00 | T | +00 + 1 -M_a \rangle \end{aligned}$$

$$P R_y(180^\circ) | \pi I M \rangle = \pi (-)^{I-M} | \pi I -M \rangle$$

$$I_b = I_A = 0, I_a = 1$$

$$\pi_b \pi_A \pi_a = +$$

$$M_B = M_a \text{ at } \theta = 0^\circ$$

⇒ 0⁺ は励起できない

一般化

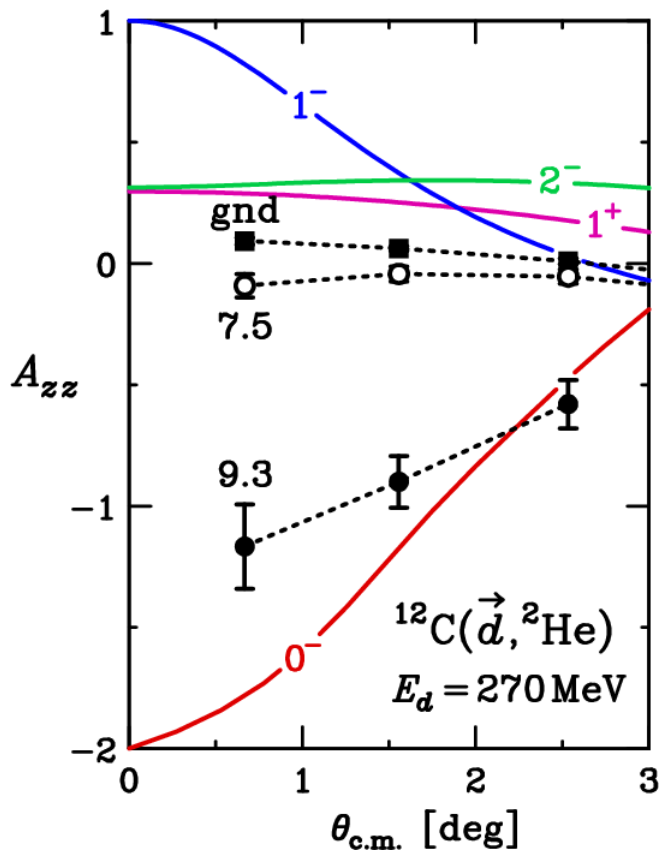
$$A_{zz}(0^\circ) = \begin{cases} +1 & \text{for natural parity } [\pi_B = (-)^{I_B}] \\ -2 & \text{for } 0^- \end{cases}$$

反応断面積 (スピン量子化軸 Z // ビーム軸 z)

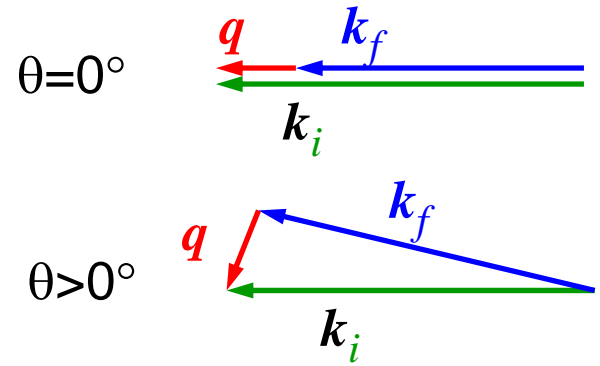
$$\sigma = \sigma_0 \left(1 + \frac{1}{2} P_{ZZ} A_{zz} \right) = \begin{cases} \sigma_0 (1 - A_{zz}) & \dots P_{ZZ} = -2 \\ \sigma_0 \left(1 + \frac{1}{2} A_{zz} \right) & \dots P_{ZZ} = +1 \end{cases} \quad \sigma_0: \text{非偏極断面積}$$

	$p_{ZZ} = +1$	$p_{ZZ} = -2$
n.p.	$\frac{3}{2} \sigma_0$	0
0 ⁻	0	$3\sigma_0$

A_{zz} angular distribution



Steep A_{zz} (A_{xx}) dist. is a general feature



rapid q rotation at $\theta \sim 0^\circ$

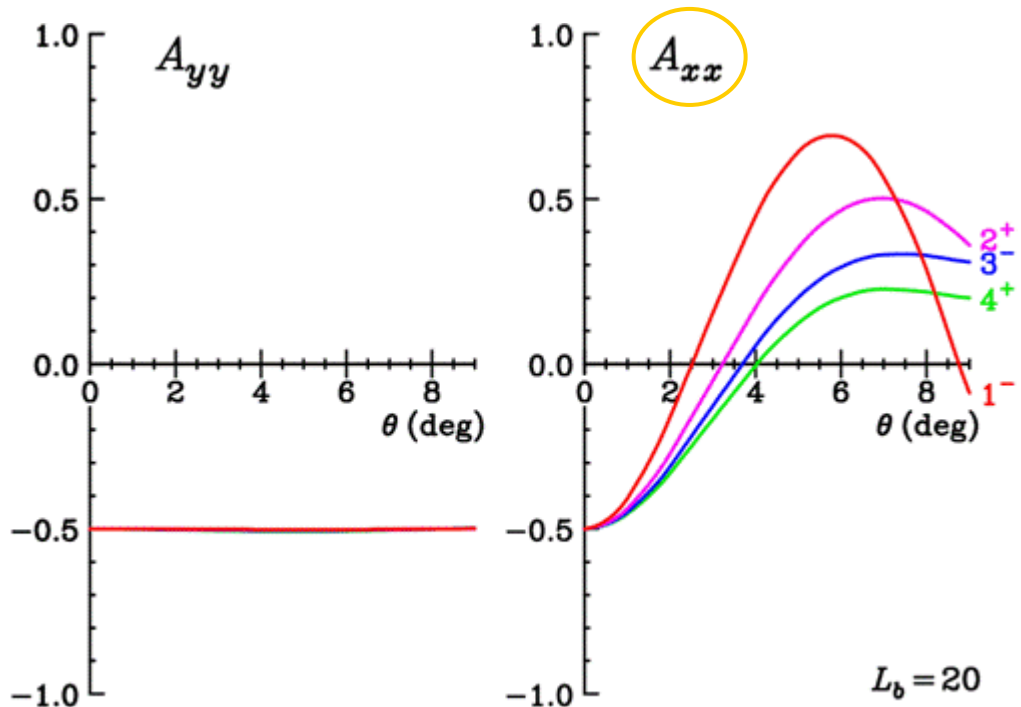
cf. In PWIA (Breit frame),

$$A_{xx} \sim +1 \text{ for } 1^- \text{ at } q \sim 0$$

D.V.Bugg, C.Wilkin, NPA 467 (1987) 575.

$$D_{00}^2(0^\circ, 90^\circ, 0^\circ) = -\frac{1}{2}$$

$$A_{xx} + A_{yy} + A_{zz} = 0$$



fairly independent of form-factor and distortion.

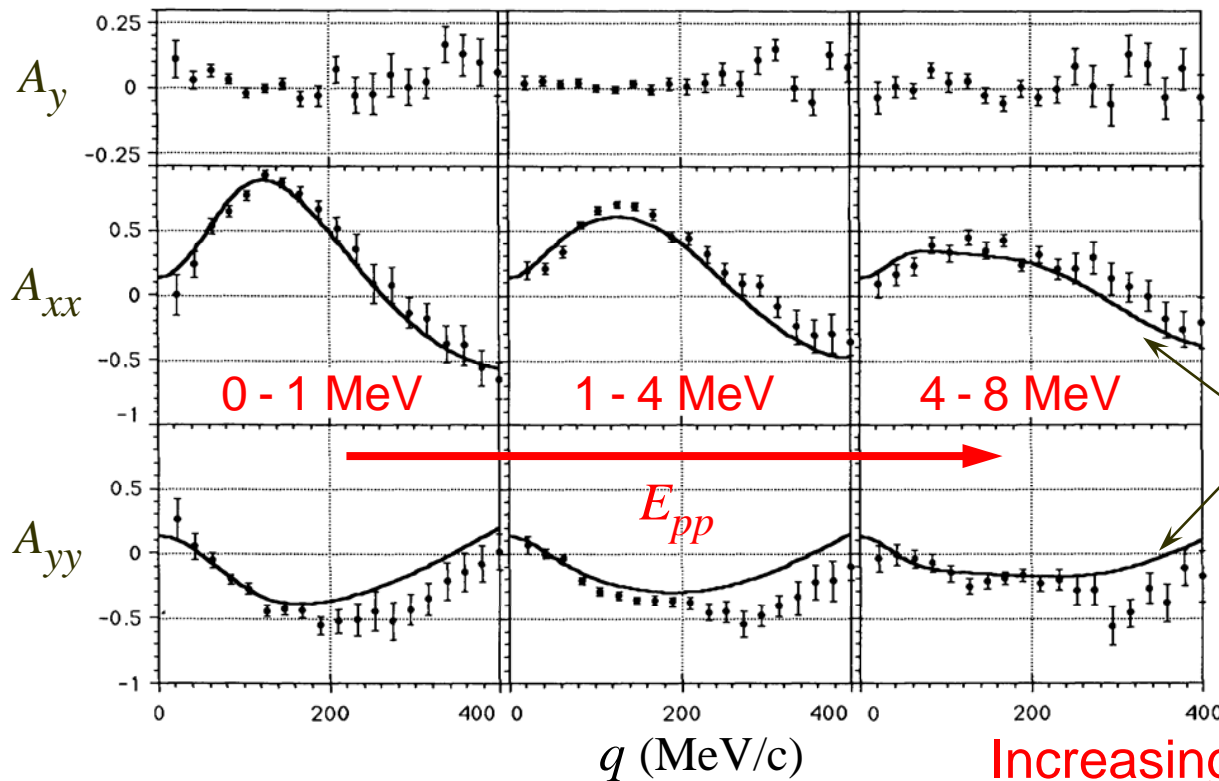
Purity of 1S_0 in detected p - p

No study for nucleus target.

For ^1H target, **impurity is few percent** if $E_{pp} < 1$ MeV according to PWIA

Thus, customary

$$\frac{d\sigma}{d\Omega} [(d, ^2\text{He})] \equiv \frac{1}{2} \int_{4\pi} \int_0^{1\text{MeV}} \frac{d^3\sigma}{d\Omega_{^2\text{He}} d\Omega_{pp} d\varepsilon_{pp}} d\Omega_{pp} d\varepsilon_{pp}$$



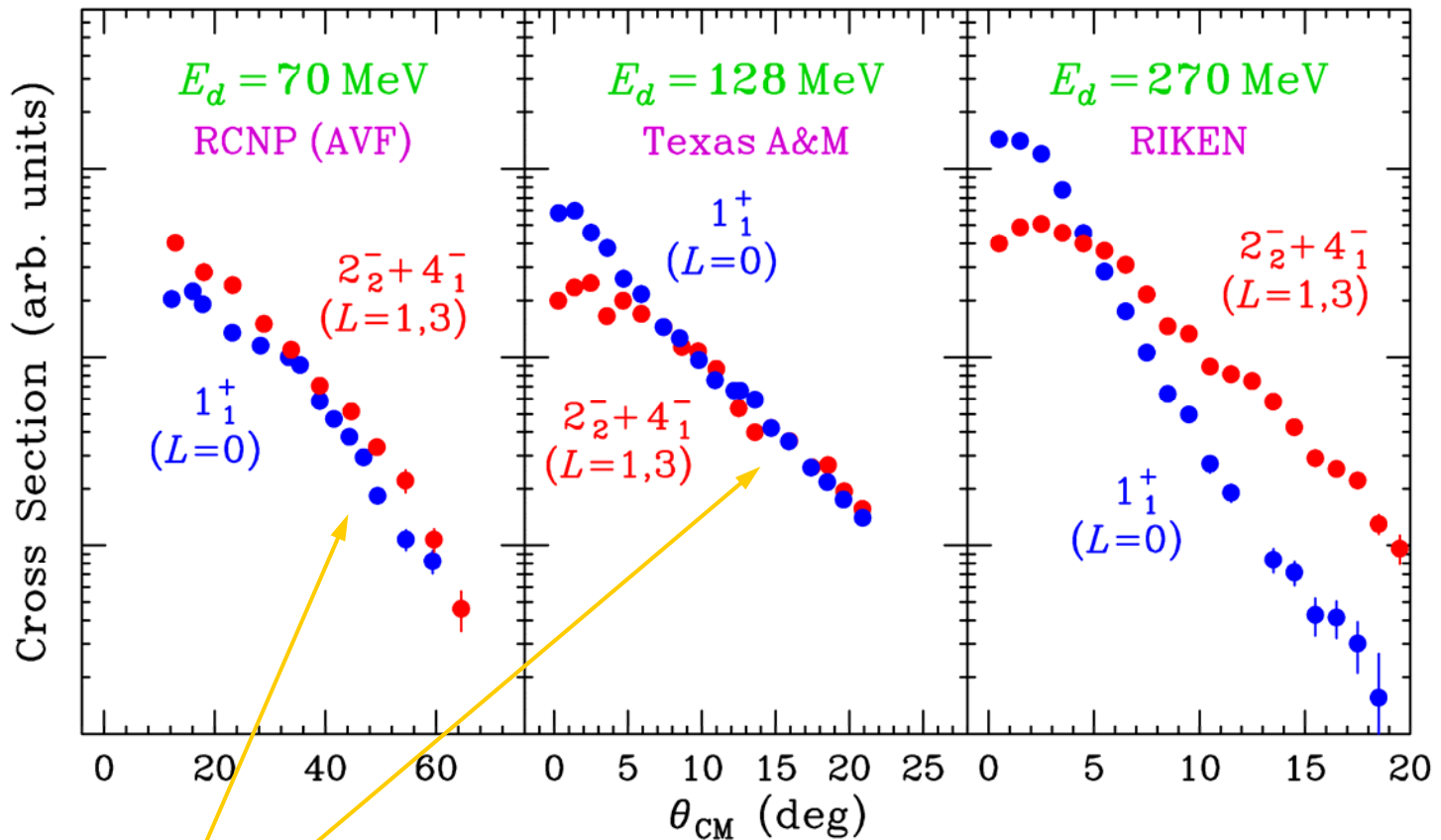
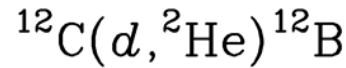
$^1\text{H}(d, pp)n$
 $E_d = 350$ MeV

S. Kox *et al.*
 Nucl. Phys. A556 ('93) 621

PWIA

Increasing effect of higher partial-wave as increasing E_{pp}

1-step direct reaction ?

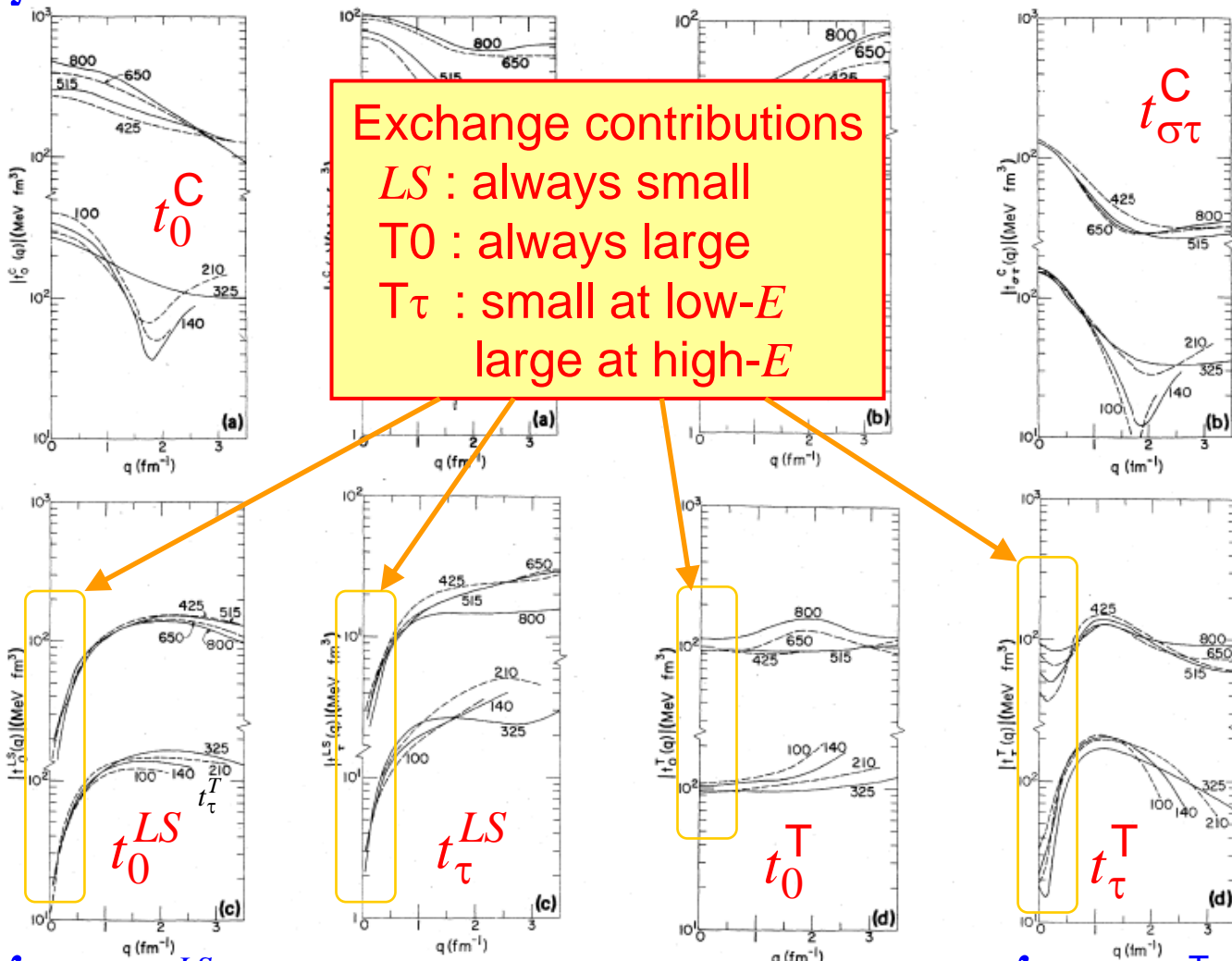


monotonous

L -dependence becomes clear as E_d increases

Sequential processes,
(d,p)-($p, ^2\text{He}$), (d,t)-($t, ^2\text{He}$), etc
may be dominant at $E < 100$ MeV/A ?

$$\int j_0(qr) V^C(r) d\vec{r}$$



Non-negligible effects of exchange-tensor on $D_{NN}(0^\circ)$ event at 300 MeV
 T.Wakasa *et al.*, PRC 51 (1995) R2871.